

对黑洞的新观念和新的完整论证：黑洞内部根本没有奇点（上篇）***

====所有黑洞之最后命运就是由于发射霍金辐射而收缩成为宇宙中的最小引力黑洞

($M_{bm} \approx 10^{-5}g$) 在爆炸中消亡于普朗克领域 Planck Era, 而不是塌缩成为奇点====

张 洞 生

Dongsheng Zhang

1/10/2009

1957年毕业于北京航空学院,即现在的北京航空航天大学

永久住址: 17 Pontiac Road, West Hartford, CT 06117-2129, U.S.A.

E-mail: ZhangDS12@hotmail.com

The New Concepts and The Complete Demonstrations to Black Holes: Any Black Holes Had No Singularity At All (Part I)

==== The final destiny of all black holes would contract to the minimum Schwarzschild black hole of

$M_{bm} \approx 10^{-5}g$ (MSBH), and to explode in Planck Era, but not to contract to Singularity====

Abstract: In this article, the conclusion of “No Singularity in any black hole at all” is derived out from 4 reliably classical formulas and demonstrated by author’s unique and simple way. Formula (4e) $m_{ss}M = hC/8\pi G = 1.187 \times 10^{-10}g^2$ in this article is the most important conservation formula on the Event Horizon of any black hole(BH). It is got from the special solution of formula(1a) $dP/dR = -GM\rho/R^2$ with other 3 classical formulas as the complementary conditions, which are (1b) $P = n\kappa T = \rho\kappa T/m_s$, (1c) $R_b = 2GM_b/C^2$, $C^2/2 = GM_b/R_b$ [6] and (1d) $T_b = (C^3/4GM_b) \times (h/2\pi\kappa) \approx 10^{27}/M_b$ [2]. In formula (4e), M is the mass of a whole BH, m_{ss} is a particle balanced by thermodynamics and a quantum of Hawking radiation on Event Horizon (EH). Due to the maximum m_{ss} is only equal to the minimum M_{bm} under the extreme condition, so, $m_{ss}^2 = M_{bm}^2 = hC/8\pi G$, i.e. $m_{ss} = M_{bm} = (hC/8\pi G)^{1/2} = 1.058 \times 10^{-5}g$ (6a). However, (6a) is completely and exactly equal to Planck particle m_p , i.e., $m_{ss} = M_{bm} = m_p = (hC/8\pi G)^{1/2} = 1.058 \times 10^{-5}g$. It is completely and exactly proved that, once a BH could contract its volume to the limit because of emitting Hawking radiations, its final destiny would be to become a basic particle of $M_{bm} = m_p$, and finally explode, disintegrate and vanish in Planck Era, but have no way to contract continuously its volume to Singularity. It clearly shows that no Singularity would appear in any BHs and that the General Theory of Relativity(GTR) is sure to become invalid in Planck Era. (The whole article will be translated in English later.) [New York Science Journal. 2009;2(2):69-93] (ISSN: 1554-0200).

笛卡儿：“在怀疑中寻找真理。”

内容提要：在本篇中，作者在没有提出任何附加的假设条件和数据的情况下，尝试用一种独特而简易的新方式方法直接论证推导出“黑洞内部没有奇点”，取得了令人比较满意的结果。这种新方式方法就是综合运用相对论的基本原理，结合其它的经典理论(霍金的黑洞理论，经典力学和热力学等)的4个基本公式，以黑洞视界上的一般热动力平衡公式(1a)为基础， $dP/dR = -GM\rho/R^2$ ，用另外3个基本公式作为补充条件，简单地解出了黑洞在其视界半径上的物理状态参数之间的1组守恒公式，这几个守恒公式只与4个基本物理常数(h, C, G, κ)发生关系，并且得出其中之一的重要公式如下，

$$m_{ss} M = hC/8\pi G = 1.187 \times 10^{-10}g^2 \quad (4e)$$

上式中M是任何一个黑洞的质量， m_{ss} 是该黑洞在其视界半径R上霍金辐射粒子的质量， m_{ss} 也在R上达到了引力和热动力的平衡。由此得出 $m_{ss}M$ 的乘积是一个常数。(4e)式直接简单地告诉我们，在物理世界和真实宇宙中， m_{ss} 不可能 = 0，所以任何黑洞质量M不可能为无限大， m_{ss} 更不可能为无限大，使黑洞质量M不可能集中在一点而成为“奇点”。运用部分不能大于全体的公理，黑洞M所能发射出的粒子 m_{ss} 的最大质量不可能大于M，其极限只能是 $m_{ss} = M$ 。因而得出一个宇宙中最小黑洞质量(6a)式， $M_{bm} = (hC/8\pi G)^{1/2} = m_{ss} \approx 10^{-5}g$ 。而 M_{bm} 又完完全全等于普郎克质量 m_p ，即 $M_{bm} = m_p = (hC/8\pi G)^{1/2}$ 。这就充分证明当任何一个黑洞发射霍金辐射收缩到最后，其命运是同时分裂成为两个宇宙的最小黑洞 $M_{bm} \approx 10^{-5}g$ ，即达到普郎克量子领域，它们唯一的可能是在宇宙最高温度下爆炸解体消亡，“其质量转变成能量，这种能量以一种高强度的伽玛射线爆发的形式消散。以最后一刻的爆炸而告终”^[1]（霍金）。因此， M_{bm} 根本不可能再继续收缩成为“奇点”。由于(4e)式对任何大小的黑洞都普遍有效，从而也证明了“奇点”不可能存在于恒星所塌缩成的黑洞和所有黑洞的中心。恒星在塌缩过程中，最终形成稳定的黑洞后，黑洞既然连光都不能逃出去，它近似于一个绝对黑体，仅能发出微量的量子辐射（霍金辐射）。恒星塌缩成的黑洞所产生的高温度和高密度以及粒子之间的泡利不相容原理就能够对抗与平衡其内部引力塌缩，使黑洞内部达到了极其平衡和稳定，而成为一个极长寿命的实体。因此，“奇点”也根本不可能出现在恒星塌缩成的黑洞内部。这清楚地表明广义相对论在普郎克领域是失效的，不适用的。[New York Science Journal. 2009;2(2):69-93] (ISSN: 1554-0200).

关键词：黑洞内没有奇点，黑洞的本质属性，黑洞的霍金辐射，宇宙中的最小引力黑洞 $M_{bm} \approx 10^{-5}g$ ，所有黑洞的最终命运是塌缩为最小黑洞 $M_{bm} \approx 10^{-5}g$ 而爆炸消失，最小黑洞 $M_{bm} = 10^{-5}g = m_p$ 普郎克粒子(Planck particle)，普郎克尺寸，

*** 本文全部共分上下两篇，这两篇是相互连接而不可分割的姊妹篇。下篇为“对宇宙起源的新观念和新的完整论证：宇宙不可能诞生于奇点。”（下篇）<18>，请同时参看本文的下篇。

本文只讨论史瓦西 Schwarzschild 引力黑洞(即无电荷,无旋转的球对称黑洞)。

I, 黑洞状态和运动的 4 个基本公式：粒子 m_s 在史瓦西黑洞视界半径 R 上的平衡

为了研究恒星级黑洞的发生，应首先参考宇宙中原始星际星云的塌缩过程，如果原始星云处于热动力平衡状态，(1a)式正确地规范了气体粒子的压强 P 与其在同一处的引力 F 相平衡。如将(1a)用于规范粒子在史瓦西黑洞视界半径 R 上的平衡也应该是适合的，根据牛顿方程和热力学；

$$dP/dR = -GM\rho/R^2 \quad (1a)$$

$$P = n\kappa T = \rho\kappa T/m_s \quad (1b)$$

M - 为黑洞在视界半径 R 内的总质量；R 为视界半径， ρ 为 M 在 R 上的密度； m_s 为粒子在 R 上的质量，T 为对应于 R 处的温度；

波尔兹曼常数 $\kappa = 1.38 \times 10^{-16} g \cdot cm^2/s^2 \cdot k$ ，引力常数 $G = 6.67 \times 10^{-8} cm^3/s^2 \cdot g$ ，光速 $C = 3 \times 10^{10} cm/s$ ，普郎克常数 $h = 6.63 \times 10^{-27} g \cdot cm^2/s$ ， n = 单位体积内的粒子数，

按照史瓦西对广义相对论的特解，以此作为黑洞存在的必要条件。得出黑洞视界半径 R_b 与黑洞质量 M_b 的关系如下：

$$R_b = 2GM_b/C^2, \quad C^2 = 2GM_b/R_b \quad (1c)$$

由霍金黑洞理论得出在视界半径 R_b 上的霍金辐射量子的阈值温度公式如下:

$$T_b = (C^3/4GM_b) \times (h/2\pi\kappa) \approx 0.4 \times 10^{-6} M_\theta / M_b \approx 10^{27} / M_b \quad (1d)$$

M_θ - 太阳质量 $\approx 2 \times 10^{33}$ g, t_b - 为黑洞内光从中心到视界的时间. 在此定义下, 任何物质与光都不能逃出黑洞.

$$C \times t_b = R_b, \quad t_b = 2GM_b/C^3, \quad (1e)$$

$$\text{球体公式 } M_b = 4\pi\rho R_b^3/3 \quad (1f)$$

上面 4 个公式 (1a), (1b), (1c) 和 (1d) 都是理想化的, (1a), (1b), 应能有效地应用到黑洞的视界和内部各处. (1c) 和 (1d) 只能应用于黑洞视界半径 R 上. 它们 4 个公式一起构成了任何瞬时粒子 m_s 在黑洞视界上的引力与热压力的平衡与稳定. 其实这种平衡与稳定的关系正如罗伊·克尔 (Roy Kerr) 黑洞是一样的, 在该黑洞视界上的任何瞬时以光速转动的粒子 m_s 的离心排斥力与引力达到了平衡. 按照广义相对论, 公式 (1c) 是构成一个黑洞的必要条件. 公式 (1d) 来源于霍金的黑洞理论, 它规定了黑洞视界面上量子辐射的阈值温度. (1b) 是气体的理想状态方程. 公式 (1a) 用于规定黑洞视界半径上的粒子 m_s 的引力和热压力的平衡. 因有公式 (1c) 和 (1d) 作为边界条件, (1a) 就比 Tolman-Oppenheimer-Volkoff [7] 方程能更加简化地解出来. 原来的 TOV 方程对 (1a) 的修正包括 3 项, 内部的热压力, 每个核子平均的熵和内部的化学成分结构. [7] 由于这 3 项修正需要许多的假设和数据, 所以 TOV 方程很难准确的解出来. 用公式 (1a), (1b) 描述黑洞内部的状态应当是合适的. 因为本文在讨论黑洞内部的“奇点”问题时并不需要知道黑洞内部各点的状态参数的数值和微观结构. 本文的目的就是要找出公式 (1a) 的可用于球对称的史瓦西黑洞在其视界半径 R 上的特殊解—各个参数在 R 上的守恒公式, 并将这些公式推广应用到所有黑洞. 即从粒子 m_s 在 R 收缩时从其平衡状态去分析了解黑洞内部不可能像广义相对论所论断的那样: 中心出现和存在“奇点”.

结论: 上述 4 个公式 (1a), (1b), (1c) 和 (1d) 来源于不同的经典理论的基本公式. 因而本文以后对黑洞的概念和结论是与单独的广义相对论的结论截然不同的.

II, 从黑洞的 4 个基本公式求出黑洞在其视界半径 R 上的 4 个重要的守恒公式— (1c), (1d), (4d) 和 (4e) 式: 将上面的牛顿力学, 热力学, 状态方程和霍金温度公式等 4 个公式用于求解黑洞在其视界半径上的引力与压强的平衡和特解, 即如 TOV 方程的简化解: 即得到式 (2c), 有了这一组共 6 个守恒公式, 就可以从黑洞的收缩中研究黑洞是否最后收缩成为“奇点”: 在此, R —黑洞的视界半径. M 为 R 内的黑洞质量, m_s —视界半径 R 上粒子的能量-质量, P — R 上的热压力, T —粒子 m_s 在视界半径 R 上的阈温值,

$$dP/dR = -GM\rho/R \quad (1a)$$

$$P = n\kappa T = \rho\kappa T/m_s \quad (1b)$$

对于任何一个史瓦西黑洞, $M = 4\pi\rho R^3/3$, 以及从 (1d), $T = (C^3/4GM) \times (h/2\pi\kappa)$,

$$P = \rho\kappa T/m_s = \kappa/m_s \times (3M/4\pi R^3) \times (C^3/4GM) \times (h/2\pi\kappa) = 3hC^3/(32\pi^2 GR^3 m_s),$$

$$dP/dR = d[3hC^3/(32\pi^2 GR^3 m_s)]/dR = -(9hC^3)/(32\pi^2 Gm_s R^4), (\therefore dP/dR \text{ 正比例于 } R^{-4}), \quad (2a)$$

$$-GM\rho/R^2 = -(GM/R^2) \times (3M/4\pi R^3) = -(3G/4\pi R^3) \times (M^2/R^2),$$

由 (1c), $M_b/R_b = C^2/2G = M/R$. 故
 $-GM \rho/R^2 = -3C^4/(16\pi GR^3)$, (正比例于 R^{-3}) (2b)

将 (2a), (12b) 代入 (1a),

$$-(9hC^3)/(32\pi^2 Gm_s R^4) = -3C^4/(16\pi GR^3),$$

$$\text{或 } 3h/(2\pi m_s R^4) = C/R^3$$

$$\mathbf{R = 3h/(2\pi C m_s), \text{ 或者 } R m_s = 3h/(2\pi C) = 1.0557 \times 10^{-37} \text{ cmg}} \quad (2c)$$

相应得出的黑洞的其它几个在其视界半径上的重要的守恒公式如下:

$$\mathbf{T \times R = (C^3/4GM) \times (h/2\pi\kappa) \times (2GM/C^2) = Ch/4\pi\kappa = 0.1154 \text{ cmk}} \quad (2ca)$$

$$\mathbf{M/R = C^2/2G \approx 0.675 \times 10^{28} \text{ g/cm,}} \quad (1c)$$

$$\mathbf{m_s M = 3hC/4\pi G = 7.123 \times 10^{-10} \text{ g}^2} \quad (2cb)$$

$$\mathbf{T \times M = (C^3/4G) \times (h/2\pi\kappa) \approx 0.4 \times 10^{-6} M_\theta \approx 0.779 \times 10^{27} \text{ gk}} \quad (1d)$$

$$\mathbf{\rho R^2 = 3C^2/\pi G. \quad \rho M^2 = 3C^6/32\pi G^3} \quad (2cc)$$

以下将利用上面所得出的守恒公式探讨分析各种大小不同的黑洞及其属性。

III, 黑洞的本质属性之一: 一旦一个黑洞形成之后, 无论它是因辐射能量-物质而缩小还是因吞噬外界能量-物质而膨胀, 它会永远是一个黑洞。

根据史瓦西黑洞公式 (1c), $R_b = 2GM_b/C^2$,

$$\text{可得, } C^2 dR_b = 2G dM_b \quad (3a)$$

$$\text{于是, } C^2 (dR_b + R_b) = 2G (dM_b + M_b) \quad (3b)$$

(3b) 式表明, 一旦一个黑洞形成之后, 无论它是因辐射能量-物质而缩小还是因吞噬外界能量-物质而膨胀, 它会永远是一个黑洞。

设有另外一个黑洞, $C^2 R_{ba} = 2GM_{ba}$ (3c)

$$\text{由(3c) + (1c), } C^2 (R_{ba} + R_b) = 2G (M_{ba} + M_b) \quad (3d)$$

(3d)式表明, 两个黑洞相碰撞或者合并也仍然是一个黑洞。

结论: 黑洞的膨胀只是因为吞噬进来外界的能量-物质, 黑洞的收缩只是因为向外界发射能量-物质, 即霍金辐射。但黑洞无论是膨胀到多么大还是收缩到多么小, 在其最后收缩到宇宙最小引力黑洞 $M_{bm} \approx 10^{-5} \text{ g}$ 以前, 却始终是一个黑洞。

作者根据此原理前不久论证了 1998 年所发现的我们宇宙的加速膨胀是由于在宇宙早期我们宇宙大黑洞与另外一个宇宙大黑洞碰撞和合并的结果。^[4]

IV. 黑洞的本质属性之二: 发射霍金量子辐射是黑洞的本性。黑洞的视界半径 R_b 上的温度 T_b 就是霍金辐射量子 m_{ss} 的阈温, 即 $m_{ss} = \kappa T_b/C^2$ 。因为黑洞总是不停地在从外部吞噬能量-物质的同时, 不停地向外发射霍金量子辐射 (能量-物质)。所以每个黑洞在最后收缩成为最小引力黑洞 $M_{bm} \approx 10^{-5} \text{ g}$ 而消失之前, 黑洞的视界半径 R_b 永无休止地振动 (扩大或缩小) 是黑洞的本性。

从第 2 节的黑洞守恒公式(2ca), (2cb) (1c)和(1d)可知, 当黑洞发射霍金辐射时, 它同时缩小视界半径提高温度和增加密度。当黑洞吞噬进来外界的能量-物质时, 它同时增大视界半径降低温度和减小密度。黑洞在有外界能量-物质可吞噬的情况下, 都是同时吞噬外界能量-物质和发射霍金辐射。不过一般黑洞除了特别小的黑洞和孤立于接近宇宙真空中的黑洞之外, 其所吞噬的粒子的质量绝大多数大于霍金

辐射的质量，所以实际能观测到的黑洞都是膨胀的黑洞。下面来探讨黑洞发射霍金辐射的状况，

设 m_s 是黑洞质量 M_b 的视界半径 R_b 上的粒子的质量，由公式(2a)，(2b)可知，当 m_s 在 R_b 上处于黑洞的引力与热压力的平衡状态时， m_s 还必须符合黑洞守恒公式(2cb)和(1d)而成为：

$$m_s = 3hC / (4\pi GM_b) = (3hC / 4\pi G) \times (4GT_b / C^3) \times (2\pi\kappa / h) = 6\kappa T_b / C^2 \quad (4a)$$

在(4a)式中，由于 m_s 并不能绝对地保持其恒定的温度和动能，因此， m_s 的温度和动能的少许涨落就会离开 R_b 而进入黑洞附近内部或者跑出黑洞。由于在 R_b 的霍金辐射是量子辐射，因此在 R_b 上发射的每一个 m_s 的阈值温度还必须符合 R_b 上的阈值温度，那么，为什么(4a)中即 $m_s \neq \kappa T_b / C^2$ ，而是 $m_s / 6 = \kappa T_b / C^2$ ？

$$\text{设有 } m_{ss} = m_s / 6, \quad \text{则 } m_{ss} = m_s / 6 = \kappa T_b / C^2 \quad (4b)$$

这就是说，只有(4b)式才是正确的，符合黑洞视界半径上的真实情况的。所以在黑洞视界半径 R_b 上所真正发射的霍金辐射量子应该是 m_{ss} 而不是 m_s ，为什么呢？因为在第 II 节中求解(1a)式时无法知道黑洞的内部结构和密度分布，只能是用整个黑洞的平均密度 ρ_{ba} 作为视界上的实际密度 ρ_{be} 从而得出了(2c)式。因而使视界上用于(1a)的密度成为 ρ_{ba} ，它是黑洞视界上的实际密度 ρ_{be} 的 6 倍，这就造成在(1a)中的 m_s 等于实际 m_{ss} 的 6 倍，因而得出(4b)式，即 $m_s = 6m_{ss}$ ，从而相应地得出，

$$\rho_{ba} = 6\rho_{be} \quad (4c)$$

因此，(2c) 式和(2cc)式就应当作出相应地修正如下的(4d)和 (4e)式：

$$Rm_{ss} = h / (4\pi C) = 0.176 \times 10^{-37} \text{ cmg} \quad (4d)$$

$$m_{ss} M = hC / 8\pi G = 1.187 \times 10^{-10} \text{ g}^2 \quad (4e)$$

虽然从(4c)中知道整个黑洞的平均密度 ρ_{ba} 等于黑洞视界上的实际密度 ρ_{be} 的 6 倍，但是整个黑洞内部的密度分布仍然无法知道。然而，这却是黑洞内部没有无穷大密度的奇点的另一个有力的佐证。

现在来看这 m_{ss} 是如何发射出去的。

A. 当黑洞外附近的温度 T_w 低于视界半径 R_b 上的温度值 T_b （等于 m_{ss} 的阈值温度 T_b ）时，如果外界粒子的质量 m_{ssw} 均小于 m_{ss} 时(此时外界没有能量-物质可以被吞噬进入黑洞内部)，则在 R_b 上面和附近内部的 $\leq T_b$ 辐射能量和 $\leq m_{ss}$ 的粒子会很自然地由高温逃向低温，由高能奔向低能，而以霍金辐射的形式逃出黑洞的 R_b 进入外界。而后，黑洞由于失去 m_{ss} 而相应地缩小 R_b 和提高 R_b 上阈值温度 T_b ，而这提高后的 T_b 就成为比原来 m_{ss} 更大的粒子 m_{sb} 的阈值温度，这样，具有较高阈温的 m_{sb} 的辐射和粒子就更易于以霍金辐射的形式射入外界。如此这般，黑洞就一直不停地向外界发射霍金辐射，收缩体积和提高温度和密度，直到最后收缩成为质量 $M_{bm} \approx 10^{-5} \text{ g}$ 的最小引力黑洞后在强烈的爆炸中消亡于普朗克领域。

B. 当外界 R_b 附近的温度 T_w 高于 R_b 上的阈温度，即高于 m_{ss} 的阈值温度 T_b 时，或者外界粒子的质量 m_{ssw} 大于 m_{ss} 时， m_{ss} 会很自然地吸收外界的高温能量以提高自己能级而被吸入黑洞内或者随着外界的高温高能量辐射一起流向低温的黑洞体内。当然 m_{ssw} 也会被吞噬进黑洞。黑洞于是扩大体积并降低温度和密度，这样一来，黑洞 R_b 与外界的温差就更加大，外界的高温高能量辐射和粒子就更容易被黑洞吞噬。黑洞一边吞噬外界能量-物质，一边膨胀体积和降低温度。直到吞噬完外界所有能量-物质为止，此后，黑洞即不再膨胀，转而向空空的外界发射霍金辐

射，并同时收缩体积和提高温度和密度，这个过程会不停地继续下去，直到最后收缩成为质量 $M_{bm} \approx 10^{-5}g$ 的最小引力黑洞在强烈的爆炸中消亡。

C. 由于黑洞内部强大引力场，黑洞好像绝对黑体。因此，当黑洞视界半径 R_b 内的粒子的质量大于阈温的 m_{ss} 的粒子时，这些粒子是不可能成为霍金辐射而逃出黑洞的。换句话说，黑洞的霍金辐射只会发射等于和小于 m_{ss} 而在 R_b 内附近的能量和粒子。同理，黑洞只会吞噬外界高于阈温和质量大于 m_{ss} 并在 R_b 外附近的能量和粒子。至于向黑洞飞奔过来的粒子，不管其质量大于或者小于 m_{ss} ，黑洞会完全吞噬。一个太阳质量的黑洞 $M_{0b} = 2 \times 10^{33}g$ ，其视界半径 $R_{0b} = 2.96 \times 10^5 cm$ ，而 R_{0b} 上的阈温温度 $T_{0b} = 0.4 \times 10^{-6}k$ ，与其阈温相对应的粒子质量仅仅是， $m_0 = 0.6 \times 10^{-43}g$ 。

可见， m_0 是非常小的能量粒子，因此，这个不大的太阳质量的黑洞 M_{0b} 几乎可以吞噬其邻近的任何能量-物质。这就是黑洞可以几乎吞噬任何能量-物质的原因。

D. 再来分析当外界温度 T_w 等于黑洞 M_b 的 R_b 上的温度 T_b 时，黑洞是向外界发射霍金辐射而收缩呢？还是吞噬外界能量-物质而膨胀呢？这种 $T_w = T_b$ 看似稳定的动平衡情况其实是极不稳定的。首先，假设 m_{ss} 是对应于 T_b 阈温的粒子质量，那么，在黑洞内，大于 m_{ss} 的能量和粒子是不会逃出黑洞而奔向外界的，但在 R_b 附近而等于和大于 m_{ss} 的许多外界能量粒子却会被吸入黑洞。这样黑洞就会在吞噬外界能量-物质后而降低温度和膨胀体积，使黑洞与外界的温度差距加大，并使黑洞更易于吞噬外界能量-物质，而直到吞噬完外界能量-物质为止。此后，黑洞即不再膨胀，转而向空空的外界发射霍金辐射，收缩体积，这个过程会不停地继续下去，直到收缩成为质量 $M_{bm} \approx 10^{-5}g$ 的最小引力黑洞在强烈的爆炸中消亡。

E. 对黑洞视界半径 R_b 上霍金量子辐射 $m_{ss} = \kappa T_b / C^2$ 的物理意义的推测和探讨：此式表明，在阈温 T_b 下从 R_b 上辐射出去霍金量子 m_{ss} 是将其所有惯性质量完全转变成为了辐射能量 κT_b 而发射出去的，所以 R_b 的作用就像是一个能量过滤器，它限制大于 m_{ss} 的能量-粒子流出黑洞，也它限制外界小于 m_{ss} 的能量-粒子流入黑洞。在辐射和粒子能转换的条件下，这种能量的转变形式如下，设 ν —辐射的频率，

$$m_{ss}C^2 = \kappa T_b = h\nu/2\pi \quad (4f)$$

现在来看 m_{ss} 的位能 $Gm_{ss}M_b/R_b$ 能为辐射出去的霍金量子 m_{ss} 提供出多少能量，

$$\text{令 } Gm_{ss}M_b/R_b = \kappa T_{b1} \quad (4g)$$

但是对于黑洞来说， $GM_b/R_b = C^2/2$ ，所以， $m_{ss}C^2/2 = \kappa T_{b1}$ ，或者，

$$m_{ss}C^2 = 2\kappa T_{b1} \quad (4h)$$

$$\text{所以， } T_b = 2T_{b1} \quad (4i)$$

(4i)式表明， m_{ss} 的位能只为辐射出去的霍金量子提供了 1/2 的能量。因为所谓 m_{ss} 的全部惯性质量是由所有不同的能量提供的，除了其中的 1/2 的位能以外，还有那些能量贡献到 m_{ss} 的另外 1/2 的惯性质量中去以填补其空缺呢？

F. 黑洞与黑洞的碰撞和合并—小黑洞吞噬大黑洞：当两个黑洞 M_{b1} 和 M_{b2} 发生碰撞和合并时，虽然较小的黑洞 M_{b1} 由于其 T_{b1} 温度较高而向大黑洞发射少量的霍金辐射，但由于 m_{ss1} 很小，而大黑洞 M_{b2} 内有大量大于 m_{ss1} 的能量-物质粒子会被黑洞 M_{b1} 吞噬而膨胀。大黑洞 M_{b2} 也会因内部有小黑洞 M_{b1} 而扩张。最后当小黑洞 M_{b1} 吞噬完大黑洞 M_{b2} 所有能量-物质后。二者完全合并成一个更大的黑洞，这个新黑洞的质量 = $M_{b1} + M_{b2}$ ，而其视界半径 = $R_{b1} + R_{b2}$ 。新黑洞的归属如上面的 A 或 B。

G. 由上面的分析可见, 任何一个 M_b 的 R_b 上的温度 T_b 只是 R_b 的阈温值, 即该黑洞在 R_b 上与外界可交换量子 m_{ss} 的阈温值。因此, T_b 并不代表黑洞内部的温度。因为对于大黑洞来说, 其内部辐射能量与粒子的能量差别太大, 不能相互转换, 因而这种黑洞的内部处于热不平衡状态, 各处的温度是不一致的。即使当黑洞内部的辐射能量与物质粒子能量相当而能在各处互相转换达到热平衡时, 黑洞 R_b 上的辐射 m_{ss} 的阈温 T_b 也不可能与黑洞内部的温度达成一致。只有当整个黑洞收缩成为两个单个粒子 $M_{bm} \approx 10^{-5}g$ 时, 温度才会相同。

V. 黑洞的本质属性之三: 任何一个黑洞从它生成的一刻起直到它收缩成为两个质量 $M_{bm} \approx 10^{-5}g$ 的最小引力黑洞在强烈的爆炸中消亡时为止, 无论它如何变化, 收缩还是膨胀, 它始终遵循和服从(4d), (2ca), (2cb)和 (4e)等守恒公式, 而且永远是一个黑洞, 所有视界半径 R 相同的黑洞都具有相同的其它的各种参数值, 并有完全相同的黑洞属性。在这些公式中, 黑洞各个参数之间的关系都是单值的。当黑洞的一个参数确定之后, 其他的参数也就相应的唯一的被跟着确定了。而在视界半径 R 上具有相同参数的黑洞有完全相同的黑洞属性。因此, 比如说, 一个黑洞的质量 M_b 被确定之后, 其它的任何在视界半径 R 上的参数如 R_b , T_b 都不可能有两个不同的数值。因此, 黑洞的演变规律是完全一致的和唯一的, 而唯一的区别是由于黑洞吞噬外界能量-物质时, 不同质量的黑洞内部可有不同的膨胀速率, 即有不同的哈勃常数 H 。从这个意义上说, 黑洞的属性是宇宙所有物体中属性最简单的实体, 这就是本文能够用几个简单可靠的基本公式而能精确地计算出黑洞各个参数数值变化的根本原因。至于黑洞内部的状况—物体的种类和结构, 各物质物体之间的相互作用和运动状况, 愈大的黑洞, 内部的状况愈复杂, 但这些并不影响其作为黑洞而存在和变化, 不影响其服从黑洞在其视界半径 R_b 上的各个守恒公式, 如 $m_{ss}M = hC/8\pi G = 1.187 \times 10^{-10}g^2$ 。

VI. 黑洞的本质属性之四: 所有黑洞的最后归属不是“奇点”, 而是收缩成为两个质量相等的 $M_{bm} \approx 10^{-5}g$ 的最小引力黑洞在强烈的爆炸中消亡在普朗克领域。

A. 从第 4 节中可知, 无论是正在收缩的黑洞或者正在膨胀的黑洞, 其最后的命运就是收缩分裂成为两个相等的最小引力黑洞, 而在强烈的爆炸中消亡在普朗克领域。该黑洞质量 $M_{bm} \approx 10^{-5}g$, 因为任何一个黑洞, 无论它在死亡之前如何变化, 它必须服从黑洞的守恒公式(1c), (1d)和(4d) (4e)。从公式(4e), $m_{ss}M_{bm} = hC/8\pi G = 1.187 \times 10^{-10}g^2$, 可以得出黑洞质量 M_{bm} 与在其视界半径 R_b 上与 m_{ss} 的乘积等于常数。 m_{ss} 也是黑洞在 R_b 所能发射出的霍金辐射。因此, 当一个黑洞因发射出霍金辐射而不停地收缩时, 其收缩的最后极限只能是达到 $m_{ss} = M_{bm}$ 的极限时为止, 不可能发生 $m_{ss} > M_{bm}$ 的情况, 即部分不能大于整体, 正如一个人的腿的重量不可能重于整个人体的重量一样。在 $m_{ss} = M_{bm}$ 时, 从公式(4e)得出,

$$m_{ss} = M_{bm} = (hC/8\pi G)^{1/2} = (1.187 \times 10^{-10}g^2)^{1/2} = 1.058 \times 10^{-5}g \quad (6a)$$

从(6a)可见, 当黑洞收缩到 $m_{ss}M_{bm} = 1.187 \times 10^{-10}g^2$ 时, 黑洞还可以作最后一次的分裂而发射最后一次霍金辐射, 这是完全地一分为二, 分为两个完全相等的粒子而同时在宇宙最高的温度下爆炸解体湮灭。当黑洞 M_{bm} 最后发射出一个 $m_{ss} =$

$M_{bm}=1.058\times 10^{-5}$ g 后。就再也不能发射霍金辐射粒子了，再发射就只能将本身 $M_{bm}=1.058\times 10^{-5}$ g 整个质量当作霍金辐射粒子暴发出去。也不能再收缩了。因为如果再发射霍金辐射粒子而收缩必然造成 $m_{ss}>M_{bm}$ ，而这是不可能发生的，也违反黑洞的守恒公式的。所以一个不能再收缩的最小黑洞 $M_{bm}=1.058\times 10^{-5}$ g 就只能在其高温下爆炸解体和消亡。设最后分裂之前的黑洞质量为 M_{bm1} ，则

$$M_{bm1} = m_{ss} + M_{bm} = 2.116\times 10^{-5}g \quad (6a1)$$

现在来看看黑洞在发射最后分裂之前的一次霍金辐射发射状况，假设那次所发射的霍金辐射粒子为 m_{ss2} 。

$$\text{则 } m_{ss2} = 1.187\times 10^{-10}/2M_{bm} = 1.187\times 10^{-10}/2\times 1.058\times 10^{-5} = 0.561\times 10^{-5}g, \quad (6a2)$$

$$\text{而当时整个黑洞的质量就是 } M_{bm2} = 2M_{bm} + m_{ss2} = 2.677\times 10^{-5}g \quad (6a3)$$

B. 任何黑洞收缩的极限是收缩到最小引力黑洞 $M_{bm}=1.058\times 10^{-5}$ g 为止，而后在高温下爆炸解体和消亡在普朗克领域，不会收缩到 R_b 趋于 0 的状况。而且，黑洞的收缩因为要遵循其黑洞的守恒公式，这几个守恒公式中没有一个参数可以趋于 0 而导致另外一个参数发散成为无限大，所以不可能收缩成为“奇点”。再比如(4d)式中， $Rm_{ss} = h/(4\pi C) = 0.176\times 10^{-37}$ cmg。 m_{ss} 不可能为 0，因为 $m_{ss} = \kappa T_b / C^2$ ，根据热力学定律， T_b 不可能为 0，所以 R 就不可能成为无限大，而在最大的 $m_{ss} = M_{bm}=1.058\times 10^{-5}$ g 时，其最小的 $R_{bm} = 10^{-33}$ cm。

C. 当大黑洞内部有小黑洞时，小黑洞必定吸收大黑洞内部空间内的能量物质而膨胀扩张其视界半径直到与大黑洞合而为一。而不是大黑洞继续收缩成为小黑洞，然后继续收缩下去成为“奇点”。

从守恒公式可见，如果大黑洞内部有小黑洞，该小黑洞也必定遵守其视界半径上的守恒公式。

设大黑洞的参数为 $M_b = R_b C^2 / 2G$ ，小黑洞的参数为 $M_s = R_s C^2 / 2G$ ，因为 $M_b > M_s$ ， $R_b > R_s$ ，所以在大黑洞 $R_b - R_s$ 的空间内，必定存在有 $M_b - M_s$ 的能量-物质。小黑洞 M_s 只发射极少量的霍金量子辐射，而在其外面大量的 $M_b - M_s$ 的能量-物质就会为具有强大引力的小黑洞 M_s 所吞噬，但大黑洞 M_b 发射霍金量子辐射比 M_s 更少更慢，所以 M_s 视界半径 R_s 就会不断地快速扩大直到 $R_s = R_b$ 为止。同样，如果大黑洞 M_b 内有許多小黑洞 M_s ，那么，在 M_b 与许多 M_s 外的空间内仍然存在有能量-物质，这许多小黑洞 M_s 就会一面相互碰撞合并，一面吞噬其外界的剩余的能量-物质，最后达到内部的许多小黑洞 M_s 合并成为一个整体而与 M_b 合而为一。因此，从现实的情况看，我们这个宇宙大黑洞内部只可能出现恒星级小黑洞，它们是由宇宙中最剧烈的超新星爆炸所产生的，但不可能在其内部出现“奇点”。

D. 宇宙中最小引力黑洞 $M_{bm}=1.058\times 10^{-5}$ g 的其它参数如下，可根据黑洞的守恒公式计算出来， τ_b —寿命， t_b —光通过黑洞半径的时间，黑洞比质子重的倍数 n_{bm} ，

$$M_{bm} = (hC/8\pi G)^{1/2} = 1.058\times 10^{-5}g, \quad (6a)$$

$$R_{bm} = 2GM_{bm}/C^2 = (hG/2\pi C^3)^{1/2} \approx 1.61\times 10^{-33} \text{ cm}, \quad (6aa)$$

$$T_{bm} = M_{bm}C^2 / \kappa \approx 0.72\times 10^{32} \text{ k}, \quad (6ab)$$

$$M_{bm}C^2 \approx 10^{19} \text{ GeV}, \quad (6ac)$$

$$\rho_{bm} \approx 6.4\times 10^{92} \text{ g/cm}^3, \quad (6ad)$$

$$t_b = 2GM_{bm}/C^3 = 5\times 10^{-44} \text{ s}, \quad (6ae)$$

$$\tau_b \approx 10^{-27} M_b^3 (s) \approx 10^{-42} \text{ s} \quad (6af)$$

$$n_{bm} = M_{bm}/m_p = 10^{-5}/1.67 \times 10^{-24} \approx 10^{20}, \quad (6ag)$$

E. 现将上述 $M_{bm} = (hC/8\pi G)^{1/2} \approx 10^{-5} \text{ g}$ 最小引力黑洞的各种数值与引力量子论中的普朗克 Planck 数值比较如下。

引力量子论是将量子力学中的侧不准原理引入到引力理论中.由侧不准原理给出,^[3]

$$\Delta E \times \Delta t \approx h/2\pi \quad [3] \quad (6b)$$

将上式用于两个基本粒子的反应过程,

$$\Delta E = 2mC^2 \quad [3] \quad (6ba)$$

则产生或湮灭两个基本粒子的时间量级为,

$$\Delta t = t_c = h/4\pi mC^2 \quad [3] \quad (6bb)$$

t_c 称为康普顿时间 (Compton time),光穿过质量为 m 的基本粒子的史瓦西半径的时间为,

$$t_s = 2Gm/C^3 \quad [3] \quad (6bc)$$

t_s 称为史瓦西时间,一般来说, $t_c < t_s$,当 $t_c = t_s$ 时, 对应的质量为,

$$\text{普朗克质量 } m_p = (hC/8\pi G)^{1/2} = 1.058 \times 10^{-5} \text{ g} \quad [3] \quad (6c)$$

$$\text{普朗克长度 } L_p = (Gh/2\pi C^3)^{1/2} = 1.61 \times 10^{-33} \text{ cm} \quad [3] \quad (6d)$$

于是 $m_p/L_p = C^2/2G$, $T_p = 10^{32} \text{ k}$ [3],

光通过质量为 m 的基本粒子的史瓦西半径的时间 t_s ,

$$t_s = 2Gm/C^3 \quad [3] = 5 \times 10^{-44} \text{ s} \quad (6e)$$

将此段内的各个公式及其所得的数值与上面 C 段中相对应的各个公式及其所得的数值相比较, 可以得出结论, 各相对应的公式和数值完全相等,

$$M_{bm} = m_p = (hC/8\pi G)^{1/2} = 1.058 \times 10^{-5} \text{ g}, \quad R_{bm} = L_p = (Gh/2\pi C^3)^{1/2} = 1.61 \times 10^{-33} \text{ cm},$$

$$t_b = t_s = t_c = 2GM_{bm}/C^3 = 5 \times 10^{-44} \text{ s}, \quad M_{bm}/R_{bm} = m_p/L_p = C^2/2G,$$

$$T_{bm} = T_p = M_{bm}C^2/\kappa \approx 0.72 \times 10^{32} \text{ k}, \quad (6f)$$

(6f)式完全证明当所有的黑洞最后收缩而分裂至两个 $M_{bm} \approx 10^{-5} \text{ g}$ 时, 各自都到达了 Planck Era 而量子化, 其湮灭的时间应符合康普顿时间 $t_c \leq t_s$, 在此领域,

“量子效应将起作用, 时间将不可能准确地测量出来, 经典的引力和时空概念失效。”^{[3] [5]}, 也就是说, 广义相对论到此就已失效。更不可能收缩到广义相对论中称之为现有物理定律所无法了解的“奇点”。^[5]同时, 因为 $M_{bm} \approx 10^{-5} \text{ g}$ 整体是一个 10^{32} k 的宇宙中最高温的能量粒子, 它内部的引力因发不出小于本身质量的 m_{ss} 而无法再收缩, 从而只能在最高温的辐射压力下爆炸粉碎消亡。

由(6b)式看,为什么刚刚由 $M_{bml} = 2.116 \times 10^{-5} \text{ g}$ 分裂出来的两个 $m_{ss} = M_{bm} = 1.058 \times 10^{-5} \text{ g}$ 最小粒子黑洞必定各个爆炸解体消失而不会重新聚合并在一起而合而为一呢? 首先, 两个粒子黑洞合并需要大于 2 倍 $t_s = t_c$ 的时间才能传递其引力, 而其湮灭解体的时间 t_c 只有 $t_c \leq t_s$ 。其次, 因分解后的 m_{ss} 和 M_{bm} 的温度已经高于 M_{bml} 在分解前的温度的 1 倍, 二者的热排斥力使其无法再接近。第三, m_{ss} 和 M_{bm} 二者内部都已成为一个不可能再收缩的整体, 即宇宙最高温的整体能量粒子, 又处在自由空间, 如果外部没有如此巨大的力量迫使二者接近, 那么, 内部能量量子之间的热排斥力和不相容必然使其爆炸粉碎消亡。

F. 最小黑洞 $M_{bm} \approx 10^{-5} \text{ g}$ 的整体惯性能量 E_b ,

$$E_b = M_{bm}C^2 = 10^{-5} \times 9 \times 10^{20} = 10^{16} \text{ g} \cdot \text{cm}^2/\text{s}^2 = 10^{19} \text{ GeV} \quad (6g)$$

而黑洞内部一个粒子的热能或者发出一个霍金辐射粒子所需的能量 E_{b1} ,

$$E_{b1} = \kappa T_{mb} = 1.38 \times 10^{-16} \times 0.72 \times 10^{32} = 10^{16} \text{ g} \cdot \text{cm}^2 / \text{s}^2 = 10^{19} \text{ GeV}$$

$$= hC / 4\pi\lambda = 6.63 \times 10^{-27} \times 3 \times 10^{10} / (4\pi \times 1.61 \times 10^{-33}) = 10^{16} \text{ g} \cdot \text{cm}^2 / \text{s}^2 = 10^{19} \text{ GeV} \quad (6h)$$

$$\text{可见, 黑洞 } M_{bm} \text{ 的粒子数 } n_b = E_b / E_{b1} = M_{bm} C^2 / \kappa T_{mb} = 1 \quad (6i)$$

既然最小黑洞 $M_{bm} \approx 10^{-5} \text{ g}$ 的整体已是一个基本粒子, 那么, 它的整体温度就是 T_{bm} . $T_{bm} = 0.72 \times 10^{32} \text{ k}$, 因此, 可以估算出它的热压力 P_{mb} 已达到,

$$P_{bm} = \rho_{bm} \kappa T_{bm} / M_{bm} = 6.4 \times 10^{92} \times 1.38 \times 10^{-16} \times 0.72 \times 10^{32} / 10^{-5} = 6.36 \times 10^{113} = 10^{107} \text{ atm} \quad (6j)$$

G. 结论:所有的黑洞最后都会发射霍金辐射 $m_{ss} = \kappa T_b / C^2$ 而收缩蒸发下去, 只不过大的黑洞由于 T_b 很低, 所以沸腾得较慢, 它们的辐射非常微弱, 因此令人难以觉察。但是随着黑洞逐渐变小, 这个过程会加速, 以至最终失控。黑洞收缩时, 在其视界半径上引力虽然会变大, 但热压力增加的更大。因此会产生和排斥出更多更重的逃逸粒子, 从黑洞中带出去的能量和质量也就越多。黑洞反而收缩的越来越快, 促使蒸发的速度变得越来越快, 当黑洞质量减少达到 $M_{bm} \approx 10^{-5} \text{ g}$ 时, 因 M_{bm} 等于普朗克粒子 m_p 而达到普朗克量子领域, 温度达到 $T_{bm} \approx 0.72 \times 10^{32} \text{ k}$, 黑洞就会在普朗克量子领域中爆炸毁灭, 由辐射自己的质量而完全蒸发掉。因为 M_{bm} 已经成为一个完整基本粒子 m_p , 其湮灭的时间应为康普顿时间 $t_c \leq t_s$ 。

第一. 比较 (6f) 式与 (1e) 式, 可见二者是完全等同的。这完全证明当黑洞收缩到 $M_{bm} \approx 10^{-5} \text{ g}$ 的最小引力黑洞而最后爆炸消亡时, 它就踏进量子引力时代— Planck Era, 而且 T_{bm} , R_{bm} 也完全与普朗克时代的 T_p , L_p 的数值相符合。反过来说, **Planck Era (普朗克时代) 的物质结构状态就是最小引力黑洞爆炸消亡时的量子状态。** 这再次证明黑洞塌缩的最终归属不是广义相对论的结论: “奇点”, 而是 Planck Era。“奇点”是一个无法量度的物理量和一个非理性的概念, 它的产生和转换与真实的物理世界无法发生可观测量的因果联系。“奇点”只能由上帝创造。

第二. 从 (6i) 式 $M_{bm} C^2 = \kappa T_{bm}$ 和 (6a), (6a1) 来看, 当黑洞收缩到普朗克领域, 而分裂成为两个 $M_{bm} \approx 10^{-5} \text{ g}$ 的最小黑洞时, 每个黑洞 M_{bm} 整体就是一个高温高能量粒子, 黑洞不可以将其内部的惯性能分裂出一部份转变为霍金辐射-高温量子, 更无法再收缩而发射出等于或大于本身质量的霍金辐射。再从 (6a), (4e) 来看, 比 M_{bm} 本身小的霍金辐射又根本发射不出来。从 (1d) 式 $T_{bm} \approx 10^{27} / M_{bm}$ 来分析, 就是说, 当 $M_{bm} \approx 10^{-5} \text{ g}$ 时, M_{bm} 的引力收缩将剧烈地增高霍金辐射的温度和热斥力。由此可见, $M_{bm} \approx 10^{-5} \text{ g}$ 的最小黑洞内部所能产生的引力收缩力必然剧烈地增高内部的热斥力。因此, M_{bm} 唯一的出路是将整个黑洞爆炸解体, 使其全部的惯性能分散转变为宇宙最高温的许多高能量量子。宇宙中所有物体的爆炸解体都是其内部热压力(热能)突然急剧增高而突破其引力约束和其结构间结合力的结果。

从公式 (2ca) 可知,

$$T \times R = (C^3 / 4GM) \times (h / 2\pi\kappa) \times (2GM / C^2) = Ch / 4\pi\kappa = 0.1154 \text{ cmk} \quad (2ca)$$

$$\text{于是, } \Delta T_b = -0.1154 \Delta R_b / R_b^2 \quad (6k)$$

从上面可知, 当黑洞收缩到 $M_{bm} = 10^{-5} \text{ g}$ 时, $T_{bm} \approx 0.72 \times 10^{32} \text{ k}$, $R_{bm} = L_p = 10^{-33} \text{ cm}$, 因为 M_{bm} 不能再发出霍金辐射, 如果 ΔR_b 收缩一个极小量 ε , 即 $\Delta R_b = R_b - \varepsilon \approx R_b$, 从 (6k) 可见, 温度的增加量 $\Delta T_b \approx 0.1154 / R_b \approx 10^{32} \text{ k}$. 可见 M_{bm} 只能爆炸消亡。所以霍金说, M_{bm} 只能爆炸成为极高能量的 γ 射线。

第三. 广义相对论在普朗克领域失效的根本原因: 按照广义相对论, 物质粒子之间的引力是绝对存在的, 可以收缩小到任何尺寸, 甚至到无穷小的尺寸, 如果真实世界的物质粒子间的距离可以无限小地收缩下去, 当然会达到“奇点”。但是(6i)式表明, 当黑洞收缩到 $M_{\text{bm}} \approx 10^{-5} \text{ g}$ 最小黑洞的普朗克尺寸时, 其所有物质的引力能都会因爆炸解体而变成许多的高温热能的量子分散在普朗克自由空间, 它们之间的引力或许变成不连续和不确定的了, 或许因引力微弱而不能对抗其热排斥力而无法重新聚集在一起再继续塌缩下去了。所以普朗克尺寸就是广义相对论所能达到的最小极限尺寸。在小于等于此尺寸的领域, 广义相对论无效。广义相对论可以宣告牛顿力学在接近光速运动时失效。同样, 黑洞量子理论也可以宣告广义相对论在普朗克领域内失效。现在尚只从理论的推论知道黑洞收缩到最后能进入普朗克领域, 除此之外, 现代科学对普朗克领域还知之甚少。未来人类也未必能观测到普朗克领域的物质结构及其运动状态。人类对宇宙和物质的认知有无极限?

第四. 既然所有黑洞的最后命运是塌缩成为 $M_{\text{bm}} \approx 10^{-5} \text{ g}$ 的最小黑洞而爆炸消亡, 而不是塌缩为“奇点”, 那么, 坚持根据广义相对论的数学公式推演到极端而存在“奇点”的结论的学者们就是非理性的, 他们只不过是维护自己对广义相对论的信仰而已, 很明显, 广义相对论在微观的普朗克量子领域是失效的。在真实物理世界中, 物质的引力塌缩会在其内部出现结构和运动状态的改变, 这就是相变(临界点), 而没有“奇点”。物体进入普朗克领域就是发生“相变”。现有的数学尚无法将物质结构转变的临界点和其一般的运动状态结合在一个统一的方程内加以描述和解决。统一微观世界与宏观世界的终极理论和数学方程也许超越人类的认识能力的范围。

VII, 恒星级黑洞 $M_{\text{bh}} \approx (1.9 \sim 15 \sim 50) M_{\odot}$: 所有宇宙中独立存在的实体, 特别是能够较长期存在的个体, 其内部结构都存在对抗自己引力塌缩的机制, 即其内部的引力与斥力, 塌缩力与其对抗力能够达到较长期的平衡和稳定的结果, 各种星体和黑洞也不例外。物体和各种能量粒子团的本性表明: 在其体积收缩时所增强的热压力是引力如影随形的对抗力量, 因此, 只要能够保持其热量不流失和温度不降低, 它就不会收缩。其次, 物质的结构之间的结合力和其组成的粒子之间的不相容也对抗着引力的收缩, 即以结构的内能对抗其收缩的引力能。黑洞在宇宙中长期存在的事实就表明其内部斥力与引力达到了极好的平衡, 所以能保持长期的稳定存在, 这就否定了黑洞内部具有无法平衡的无穷大密度的物理量的“奇点”存在的可能。

质量小于 10^{15} g 的物体中, 其氢原子的数目 $n_{\text{p}} < 10^{15} / 1.67 \times 10^{-24} = 10^{39}$. 由于物质质量小, 所产生的引力往往能为该物体的外层电子结构所承受, 而形成不改变结构的热胀冷缩, 因而可以没有一个较坚实的核心。

A. 在宇宙中独立存在和运行的物体都有较大的质量。一个典型的彗星质量也有大约 10^{15} g . 太阳的质量 $M_{\odot} = 2 \times 10^{33} \text{ g}$, 这些大质量的星体为了阻止外层物质向中心的引力塌缩, 用三种方式共同对抗外层物质向中心的引力塌缩。

第一: 小于 $0.08 M_{\odot}$ 质量的行星: 其中心都有密度较大温度较高的较坚实的核心。它一方面承受外围物质压力以对抗引力的塌缩, 一方面又维持对外围物质的足够引力使其不会逃离出去, 以保持该物体的整体的稳定性。这种气体或者固态行星的中心多为固态或液体的铁所形成较坚实核心以平衡和对抗外围物质的引力塌缩。

第二：质量大于 $0.08 M_{\odot}$ 天体会成为恒星：这类恒星能够点燃其中心的核聚变，只要核聚变所提供的热能能够保持住高温高压不下降，就能长期地对抗物质向其中心的引力塌缩，

太阳和正在其中心进行核聚变的所有恒星，都是用其中心核聚变所提供的高能量以维持其内部的高温高压，能量向外辐射的流失与核聚变供给的能量的平衡能长期地对抗其引力塌缩达到数亿年至百亿年之久。最后，只有当氢被耗尽时，内核收缩，包层膨胀形成巨大红色星球--红巨星，再过几千年后，太阳将坍缩成一个逐渐冷却的白矮星。

太阳内部稳定的状态使得我们能够估算出太阳中心的压力 P_s ：由(1b)式. 太阳中心密度 $\rho_s \approx 10^2 \text{g/cm}^3$ ，太阳中心温度 $T_s \approx 1.5 \times 10^7 \text{k}$ ，

$$P_s = \rho_s \kappa T_s / m_p = 10^2 \times 1.38 \times 10^{-16} \times 1.5 \times 10^7 / 1.67 \times 10^{-24} \approx 1.5 \times 10^{11} \text{ atm.} \quad (7a)$$

这就是说，太阳中心的压力 P_s 是地球表面压力的 1.5×10^{11} 倍。

第三：不同质量的致密天体结构内粒子之间的泡利不相容原理能够对抗其内部物质塌缩成为“奇点”：宇宙原始星云含有 3/4 氢，只要其质量 $M > 0.08 M_{\odot}$ ，它们就能靠自己引力的收缩达到大约高于 10^7k 的高温以点燃其中心核聚变，从而长期对抗其引力收缩. 等到所有氢燃烧完毕时，在通过红巨星或者新星超新星爆发之后，它的余烬（星核） M_r 的塌缩根据其质量的大小会形成不同的结果：白矮星，中子星，黑洞或成为一团尘埃. 大致上来说原始质量小于 $3.5 M_{\odot}$ 的恒星，可能变成为白矮星^[9]. 质量在 $(3.5 \sim 8) M_{\odot}$ 之间的，可能成为“中子星”^[9] 质量大于 $8 M_{\odot}$ 倍或更大的恒星，可能最终将塌缩成为“黑洞”。^[9] 但还有多种不同的说法，尚无共识。

B. 白矮星：白矮星的质量 M_w ，当老年原始恒星演变到最后阶段，它的余烬（星核） $M_r < 1.44 M_{\odot}$ ，会成为白矮星. 这就是钱德拉塞卡极限. 白矮星的密度 ρ_w ，原子之间的距离 d_w ，单位体积内的质子数 n_w ，白矮星的表面温度 $T_w \approx 10000 \text{k}$ 。

$$\rho_w \approx 10^6 \text{g/cm}^3, \quad d_w \approx 1.2 \times 10^{-10} \text{ cm}, \quad n_w = 10^{30} \text{ 个/cm}^3. \quad M_w < 1.44 M_{\odot} \quad (7b)$$

原子核的直径 d_a 尺寸大约是 10^{-13} cm ，所以在白矮星内部，原子与原子之间尚有不小的空隙与距离，使电子脱离了原子轨道变为自由电子，这些空隙间成为充满电子的海洋。由于电子间泡利不相容原理而产生的“斥力”能抗衡住万有引力的塌缩，形成密度为 10^6g/cm^3 左右的白矮星。但是白矮星是非常稳定的，释放能量以降低温度和冷却极其缓慢，经过数千亿年之后，白矮星才会冷却到无法发光，成为黑矮星。但是目前普遍认为宇宙的年龄（150亿年）不足以使任何白矮星演化到这一阶段。如白矮星有伴星而形成密近双星时，白矮星会从其伴星中吸取物质，当白矮星的质量增大到 $1.44 M_{\odot}$ 接近钱德拉塞卡质量极限时，会成为碳-氧白矮星通过聚变中心的碳和氧所引发的热核爆炸能产生 Ia 型超新星大爆炸，而可能将整个白矮星炸得粉碎而抛掷空中。

C. 中子星：中子星质量 M_n 的下限 $M_n > 0.1 M_{\odot}$ ， M_n 的上限 $M_n = (1.5 \sim 2) M_{\odot}$ ，当超新星爆发之后，它的余烬（星核） $M_r > 1.44 M_{\odot}$ 而超过钱德拉塞卡极限，即 $M_r = (1.5 \sim 2) M_{\odot}$ 时，会成为中子星。由于中子星表面是固体，很有可能是固态铁。中子星的构造分为 4 层，其密度由外层到中心核的密度大致是 $\rho_n \approx 5 \times 10^{11} \sim 5 \times 10^{15} \text{ g/cm}^3$ ，相应地原子之间的距离 $d_n \approx 1.2 \times 10^{-13} \text{ cm}$ = 原子核的直径，所以在中子星内，原子核是紧紧地挤在一起没有任何“真空”留下了。电子不再可以在原子核外活动，

而是被挤进核内使质子变成为中子。特别是其核心的核子因能量的增高已成为超子的海洋，能够承受外层物质的引力塌缩。最大中子星的直径大约为33公里。

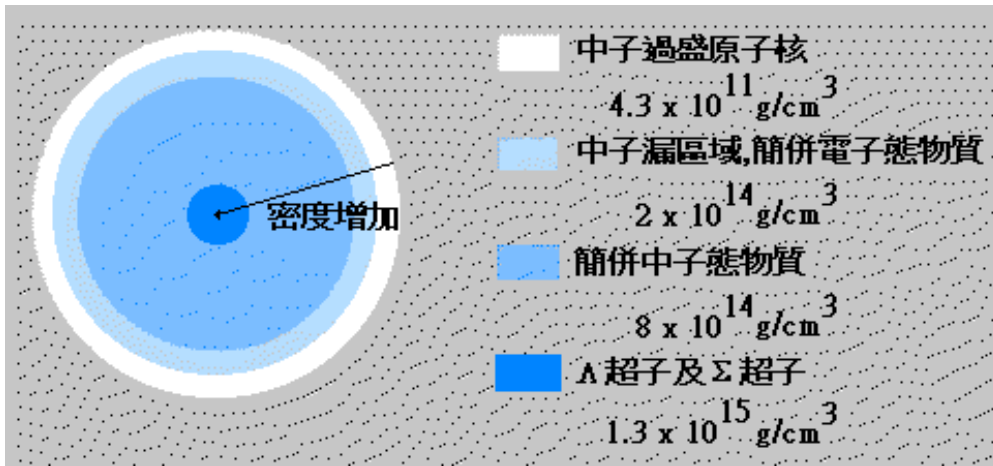
中子星 M_n 的一些状态参数如下：

$$M_n = (1.5 \sim 2)M_0, \rho_n \approx 10^{14} \sim 10^{15} \text{ g/cm}^3, d_n \approx 1.2 \times 10^{-13} \text{ cm}, n_n = 10^{39} \text{ 个/cm}^3. \quad (7c)$$

中子星的表面温度 $T_n \approx 10^7 \text{ K}$ ，因此，其表面的热压力 P_n 估计大到：

$$P_n = \rho_n T_n k / m_p = 10^{15} \times 10^7 \times 1.38 \times 10^{-16} / 1.67 \times 10^{-24} \approx 10^{24} \text{ atm}. \quad (7d)$$

这就是说，超新星的爆炸力 $P_n \approx 10^{24} \text{ atm}$ 一方面会压缩恒星的星核成为中子星，另一方面将其外壳以极高的速度炸飞而抛向外空。由于 P_n 过高造成的不稳定，使其高速旋转而快速释放能量-物质，快速降温变为冷星。 $10^{15} \times 10^7 \times 1.38 \times 10^{-16} / 1.67 \times 10^{-24}$



中子星的结构图(圖: LKL Astro-Group)^[13]

² 而 $1.3 M_0 \sim 2M_0$ 中子星不太可能自己塌缩成为黑洞，因为其外层温度非常高，旋转非常快，无法向内塌缩，而核心虽然密度高，但质量小，不可能在核心形成黑洞。中子星只有在在吸收其大质量伴星的物质后，如果质量超过奥本海默-沃尔科夫极限，即 $M_n \geq 3M_0$ 时，中子间的“泡利斥力”顶不住万有引力的作用，将继续坍塌而成为夸克星，或者成为黑洞。如果中子星外部没有伴星的物质可供吸收，就不会增大，而在快速降低温度后而成为一个黑星。

D. $M_b \approx (1.9 \sim 15 \sim 50) M_0$ 的恒星级黑洞的形成：

第一. 原始质量 $> 8 M_0$ 倍的恒星在超新星爆发之后，只有当它的余烬（星核） $M_r \geq 3M_0$ (奥本海默-沃尔科夫极限) 时， M_r 才有可能塌缩成为一个 $> 3M_0$ 的恒星级黑洞。也有可能是在 M_r （星核）的核心先塌缩成为 $1.9 M_0$ 小黑洞，它在形成之后，就会很快地吞噬其外围的高密度能量-物质或者其伴星的物质而变成 $M_b > 3 M_0$ 的恒星级更大黑洞。“伍德介绍，形成黑洞有两种方式，一是质量非常大的恒星爆炸后产生黑洞，二是两个中子星合并后形成黑洞。基本上可以认为有两种不同类型的黑洞，一类是质量相当于太阳质量3~50倍的小黑洞，另一类是质量相当于太阳质量100万~10万亿倍的大黑洞。”^[11] “质量介于两者之间的黑洞是否存在，科学家们一直有争议。但近来美国密歇根大学的研究人员在《天体物理杂志通信》上发表论文说，位于双鱼座“梅西尔74”(M74)星系的一个黑洞，其质量可能相当于1万个

太阳，远远大于恒星级黑洞，但比“超级黑洞”小得多，符合中等质量黑洞的标准。

第二. 从理论的计算来看，黑洞 $M_{bh} \approx 1.9 M_0$ 是可能达到的恒星级最小黑洞，但它是极难出现和存在的：从上面中子星的结构图可见，其核心已被压缩成为超子（另一种说法是固态中子）。只是由于这个核心的质量较小，而不能形成黑洞。取中子星核心的密度 $\rho_n \approx 5 \times 10^{15} \text{g/cm}^3$ 。现求具有如此密度 $\rho_b > \rho_n \approx 5 \times 10^{15} \text{g/cm}^3$ 的黑洞应当具有的质量 M_{bh} 。按公式(1e)和(1f)，

$$R_b = C[3/(8\pi G\rho_n)]^{1/2} = 0.189 \times 10^{-4} C, \quad \therefore M_{bh} \geq R_b C^2 / 2G \approx 3.8 \times 10^{33} \approx 1.9 M_0, \quad (7h)$$

“美宇航局戈达德太空飞行中心天文学家尼古拉·沙波什尼科夫及同事在加州洛杉矶举行的美国天文学会高能天体物理分会的会议上公布了这一发现。这个“小”黑洞的代号为 **XTE J1650-500**，现这个黑洞的质量仅仅是太阳质量的 **3.8 倍**，比之前保持着最小质量记录的黑洞小了不少，它是太阳质量的 6.3 倍。那么最小黑洞的质量究竟有多少？按照天文学家估计，应是太阳质量的 1.7 倍至 2.7 倍。比这还小的天体只能是中子星了。找到逼近这一下限的黑洞，有助于物理学家更好地理解物质在这种极端环境下被碾碎时的表现。”^[8]

第三. 恒星级黑洞 $M_b \approx (2 \sim 3) M_0$ 的形成：由于现在在宇宙中尚未观测到这种级别的恒星级黑洞，很难以判断其形成的机制。很有可能是大质量恒星在超新星爆炸后，形成双中子星或其它密近双星系统而后碰撞塌缩变成 $M_b \approx (2 \sim 3) M_0$ 的恒星级黑洞。

第四. 夸克星：也许中子星在冷却后能逐渐吸收外界物质或与其伴星碰撞和降低温度后，可能先成为夸克星而后有可能再塌缩成为黑洞，现在已观测到在宇宙中存在着几个夸克星，如超高密度星 RX J1858-3754，但其寿命不会很长，这也许是在宇宙空间很难找到夸克星的原因。它一方面会吞噬外界能量-物质，另一方面，它也无足够大的引力禁锢其外层能量使其不致流失而保持温度。因此夸克星有可能会吞噬其伴星与外界能量-物质和降低温度而塌缩成为黑洞，当然也有可能在外界能量-物质可被吞噬的情况下向外抛射能量-物质而最后消亡。

E. 中子星与恒星级黑洞的比较：(a)。中子星和黑洞的重要不同之处，是中子星有一个固体表面，核心是超子。而黑洞则没有固体表面。(b). 中子星的逃逸速度约为光速 0.8C。而黑洞的逃逸速度为光速 C。(c). 中子星的表面温度非常高，热压力非常大，旋转非常快，辐射 χ 射线、 γ 射线和可见光，黑洞的表面温度低，旋转慢。(d). 中子星的典型质量为 $(1.5 \sim 2) M_0$ ，恒星级黑洞的质量按照现有的观测从 $3.8 M_0 \sim 15 M_0$ ，有可能达到 $50 M_0$ ，因为最近发现了质量 $\approx 150 M_0$ 的巨型恒星。

1.75 M_0 的中子星与黑洞的比较：“Strohmayer 所发现的中子星属于恒星系 EXO 0748-676 的一部分，坐落在南半球天空的飞鱼星座，离地球有 30000 光年的距离。这颗中子星的半径约为 7 英里（11.5 公里），质量约为太阳的 1.75 倍。”^[12]，该中子星的质量 $M_{n1.75} = 1.75 M_0 = 3.5 \times 10^{33} \text{g}$ ，则其它的参数值计算是，

$$M_{n1.75} = 1.75 M_0 = 3.5 \times 10^{33} \text{g}, R_{n1.75} = 11.5 \times 10^5 \text{cm}, \rho_{n1.75} = 5.5 \times 10^{14} \text{g/cm}^3, \\ T_{n1.75} \approx 10^7 \text{k}, \quad (7e)$$

设一个黑洞的质量 $M_{b1.75} = 1.75 M_0 = 3.5 \times 10^{33} \text{g}$ ，相应地各参数值计算是，

$$M_{b1.75} = 1.75 M_0 = 3.5 \times 10^{33} \text{g}, R_{b1.75} = 5.16 \times 10^5 \text{cm}, \rho_{b1.75} = 5.75 \times 10^{15} \text{g/cm}^3, \\ T_{b1.75} = 0.23 \times 10^{-6} \text{k}, \quad (7f)$$

由此可见, $R_{b1.75} = 1/2 R_{n1.75}$, $\rho_{b1.75} = 10 \rho_{n1.75}$, $T_{n1.75} \approx 10^{12} T_{b1.75}$ (7g)

由(7g)可见, 二者的巨大差别在于温度, 这表明中子星抛射出去的粒子的能量 $\approx 10^{12}$ 倍黑洞的霍金辐射粒子的能量。

F. 进一步的分析和结论, 恒星级黑洞内部不可能出现“奇点”: 第一. 在真实的宇宙物理界, 宇宙本身就是一个宇宙黑洞。^[18]无论是白矮星中子星和恒星级黑洞的形成都是由于恒星内部核聚变到最后, 当氢燃烧耗尽时, 所产生的爆炸或新星或超新星爆炸对其核心(余烬)产生巨大的内压力使其塌缩而成。这些致密星体形成和能长期稳定地存在本身就表明靠巨大星云物质自然的引力塌缩和新星或超新星爆炸只可能塌缩出宇宙中密度最大的(3.8~50) M_{\odot} 的小恒星级黑洞。在这些恒星级黑洞内部, 已经没有再产生核聚变的条件, 不可能出现密度更高的更小的黑洞, 怎么可能再出现奇点呢? 万一有我们尚不知道原因在其内部塌缩出小黑洞, 因为它们有极长的寿命。所以只能吞噬其外界周围的能量-物质而膨胀和降低密度, 最后与原黑洞合而为一。第二. 目前在宇宙中所观测到的恒星级黑洞的质量从(3.8~15) M_{\odot} , 其相对应的密度为从 $10^{15} \text{g/cm}^3 \sim 8 \times 10^{13} \text{g/cm}^3$ 。这就是说, 恒星级黑洞的密度与中子星的密度几乎是相同的, 即内部都有超子。只不过比中子星稍大的黑洞内部的超子比中子星内多许多而已。因此, 黑洞内部一定不会按照广义相对论的极端要求而产生“奇点”。中子星的核心密度高到使核子已变成超子而无法塌缩成为黑洞, 这证明超子之间的泡利不相容原理具有极其强大的对抗引力塌缩的能力, 因为两个超子之间的距离小于 $0.8 \times 10^{-13} \text{cm}$ 时核力表现为斥力。^[17]加上黑洞内在几乎不向外泄露辐射热能的条件下应比中子星能更有力地对抗其内部引力塌缩, 没有什么力量使其塌缩成为奇点。由(7b)式可知, 如果有 $1.9 M_{\odot}$ 的黑洞存在, 其密度也不过是等于中子星核心的密度 $\rho_n \approx 5 \times 10^{15} \text{g/cm}^3$, 而 $1.9 M_{\odot}$ 的黑洞的寿命约为 10^{66} 亿年, 比中子星的寿命更长得多, 这表明黑洞比中子星更加稳定。中子星的核心是超子, 而没有出现“奇点”, 同样是更多有超子而更稳定更长寿命的黑洞内更不可能反而出现“奇点”。更何况现在在宇宙中找到的最小黑洞只是 $3.8 M_{\odot}$, 其平均密度比 $1.9 M_{\odot}$ 的黑洞已经降低 4 倍而约为 10^{15}g/cm^3 , 就是说, 其核心可能已不是超子而是中子和质子了, 其内部更不可能出现奇点, 而比 $3.8 M_{\odot}$ 更大的恒星级黑洞因为其密度更低, 就更无可能在其内部塌缩出来奇点。第三. 既然黑洞时刻都在因发射霍金辐射而收缩其视界半径, 这说明黑洞内部空间不是如广义相对论所说的真空, 不是内部空间的所有能量-物质都集中到其中心的“奇点”, 而是充满能量-物质。只有这样, 黑洞的视界半径收缩到任何尺寸时, 才都会有霍金辐射发出。第四. 由(4c)式可见, 既然任何一个黑洞的平均密度 ρ_{ba} 只等于 6 倍的视界半径上的密度 ρ_{be} , 即 $\rho_{ba} = 6 \rho_{be}$, 那么, 恒星级黑洞中心就不可能出现和存在密度为无限大的“奇点”。这同时也意味着恒星级黑洞内不可能出现比超新星爆炸还强烈的爆炸, 所以既不可能在其中心塌缩出 $\rho \approx 10^{54} \text{g/cm}^3$ 的微型黑洞 $m_{bm} \approx 10^{15} \text{g}$, 更加不可能塌缩出密度高达 $\rho \approx 10^{94} \text{g/cm}^3$ 的 $M_{bm} \approx 10^{-5} \text{g}$ 宇宙最小黑洞, 再从(6j)式可知, $M_{bm} \approx 10^{-5} \text{g}$ 最小黑洞的热压力高达 10^{107}atm 。就是说, 恒星级黑洞内部根本不可能塌缩出 $M_{bm} \approx 10^{-5} \text{g}$ 最小黑洞, 那就绝无可能塌缩出“奇点”了。第五. 只要能够保持住物质物体的热能不损失, 温度不下降, 它就不会收缩。恒星级黑洞内部不可能出现“奇点”, 是因为一个太阳级质量的黑洞, 其寿命竟长达 10^{65} 年。具有如此长寿命的黑洞的内部是极其稳定的, 不可能

出现有无穷大密度的“奇点”存在，因为黑洞有极强大的引力，而近似绝对黑体，连光都逃不出黑洞，所以有温度的粒子也逃不出黑洞，这样，黑洞内部就能保持其温度成为对抗引力的塌缩的主要力量，从而能够保持极长的寿命。但它还是会因霍金量子辐射而极其少量和缓慢地失去能量而收缩。大黑洞由于密度的大幅降低内部更加稳定而更难塌缩，其寿命能维持非常的长久，如一个太阳级质量的黑洞， $M_0 = 2 \times 10^{33} \text{g}$ ，按照(6b)式，其寿命竟长达 10^{65} 年，而小黑洞由于辐射出高能量的霍金量子辐射，所以寿命变得很短。假如有一个小黑洞的质量 $M_b = 1000 \text{ton}$ ，其寿命就只有 1 秒。宇宙中一半以上的恒星都有伴星，成为双星系统，因此，各种恒星级黑洞在塌缩形成之后，就会马上吞噬其外界的能量-物质而膨胀以降低其密度，长成更大的黑洞。宇宙中也发现有几乎吞噬完其周围能量-物质后而孤独地在宇宙空间漂浮的黑洞(其外界并非绝对真空，只是能量-物质极其稀少而已)。第六. 参见第 VI 节的 C 段。

总之，在恒星所塌缩成的恒星级黑洞内，其中心所能达到的最高密度 $\approx 5 \times 10^{15} \text{g/cm}^3$ ，即 $1.9M_0$ 黑洞由均匀的超子构成的中心的密度。比 $1.9M_0$ 黑洞更大黑洞，其中心的密度就更低。这表明宇宙中超新星爆炸时的极限压力对其余烬 M_r 的中心所能形成的最高密度不会高于 $5 \times 10^{15} \text{g/cm}^3$ 。所以，在恒星级黑洞内部根本不可能塌缩出更小的黑洞，因为在其内部根本不可能再发生超新星爆炸和其它更剧烈的爆炸，更绝无可能塌缩出奇点。但是，各种大小不同黑洞形成的机制和过程现在还不清楚。普遍认为的是并非所有超新星爆炸都会形成中子星。而且当前的超新星爆发理论尚未完善，不能说明是否恒星的余烬(星核) M_r 可能被直接压缩成为黑洞而不经超新星爆发，是否有超新星形成的黑洞，以及恒星的初始质量和演化终点的准确关系。

1974 年乔治(Georgi)和格拉肖(Glashow)提出了把强、弱、电三种相互作用统一在一起的 SU(5) 大统一理论,按照该理论,质子是不稳定的,它的寿命约为 $10^{28} \sim 2.5 \times 10^{31}$ 年,但实际上美国,印度和日本等国的实验尚未有确切的公认的证据证实质子有衰变的迹象。因此在现实宇宙中,我们可以大致地认为恒星所塌缩成的史瓦西恒星最小黑洞 $M_{bh} \approx 1.9 M_0$ (参见 VII 节)应该是中子(质子)被挤压到近乎极限而增高了能量变成为超子,而仍然是“核粒子”,但可能没有达到破坏其内部的夸克链成为自由夸克,只可能是将夸克之间的距离压缩短了而已,

VIII. 微型黑洞 $m_{bm} \approx 10^{15} \text{g}$: 早在 1971 年,霍金首先提出了“微型黑洞”的概念,认为宇宙形成初期,一些小团块物质在“宇宙浴缸”的巨大压力下,会收缩成为不同尺度的黑洞,有的是由一座山收缩而成的,其体积仅相当现在的一颗基本粒子,在宇宙大爆炸发生之际,各种质量的黑洞都是有可能生成的;因此,宇宙空间里目前仍可能存在着“微型黑洞”这也就是“原初宇宙小黑洞 m_{bo} ”。

这样,如果取(2c)式中黑洞辐射霍金粒子的质量 $m_s =$ 质子的质量 $m_p = 1.67 \times 10^{-24} \text{g}$, 则可得出一个史瓦西微型黑洞 m_{bm} , 其各种参数值如下:

该黑洞视界半径 $r_{bm} = 1.0557 \times 10^{-37} / 1.67 \times 10^{-24} \text{g} = 0.632 \times 10^{-13} \text{cm} =$ 原子核的半径,

该黑洞质量 $m_{bm} = r_m C^2 / 2G = 0.632 \times 10^{-13} \times 9 \times 10^{20} / 2 \times 6.67 \times 10^{-8} = 0.426 \times 10^{15} \text{g}$,

该黑洞在 r_{bm} 上的霍金辐射量子的阈温度值温度 $T_{bm} = 9.62 \times 10^{12} \text{K}$,

该黑洞内相当的质子数 $n_{bm} = m_{bm} / m_p = 0.426 \times 10^{15} / 1.67 \times 10^{-24} = 0.255 \times 10^{39}$

该黑洞之霍金辐射粒子的质量 $m_s =$ 质子的质量 $m_p = 1.67 \times 10^{-24} \text{g}$,
 该黑洞密度 $\rho_{bm} = 3m_{bm}/4\pi r_{bm}^3 = 3 \times 0.426 \times 10^{15} / (4\pi \times 0.632^3 \times 10^{-39}) = 0.4 \times 10^{54} \text{g/cm}^3$
 霍金的任何一个黑洞的寿命 τ 的公式如下:

$$\tau \approx 10^{-27} M_b^3 (s)^{[2]} \quad (8a)$$

该黑洞寿命 $\tau_{bm} \approx 10^{-27} m_{bm}^3 \approx 10^{-27} \times (0.426 \times 10^{15})^3 \approx 0.0773 \times 10^{18} \text{s} \approx 24.5$ 亿年.

史瓦西微型黑洞 m_{bm} 与霍金在 1971 年所提出的原初宇宙小黑洞 m_{bo} 在同一个数量级。我们宇宙现今的年龄 $\tau_{b0} = 137$ 亿年, 如果 m_{bo} 现今尚能存在于宇宙中, 其质量应该是:

$$m_{bo} \geq (10^{27} \times 137 \times 10^8 \times 3.156 \times 10^7)^{1/3} = 0.756 \times 10^{15} \text{g} \quad (8b)$$

在 70 年代, 科学家们曾费力地力求在宇宙空间找到 m_{bo} 这种原初宇宙小黑洞, 但一无所获。因为它们不可能存在于现今宇宙中。(以下再详细论证)

从以上所计算的史瓦西微型黑洞 m_{bo} 的各种参数值与所有其它学者用其它公式所计算的结果是完全一致的。这证明本文中所采用的公式是没有错误的。

按照霍金的黑洞理论, 黑洞向外辐射能量的速率为:

$$dE/dt = 10^{46} M^{-2} \text{erg/s}^{[2]} \quad (8c)$$

假设 $M = M_\theta = 2 \times 10^{33} \text{g}$, 而 $T_b \approx 10^6 \text{k}$, 按照 $dE/dt \approx 10^{-20} \text{erg/s}$ 这个极其微小的霍金辐射速度, 一个太阳质量的黑洞约需 10^{65} 年才辐射完其所有能量-物质, 其寿命 τ_θ ;

$$\tau_\theta \approx 10^{-27} M_\theta^3 (s)^{[2]} = 10^{-27} \times (2 \times 10^{33})^3 \approx 8 \times 10^{72} \text{s} \approx 10^{65} \text{年} \quad (8d)$$

按照霍金的黑洞理论, 任何恒星在塌缩过程中, 熵总是增加而信息量总是减少的。设 S_m —恒星塌缩前的原有的熵, S_b —恒星塌缩后的熵。霍金公式:

$$S_b/S_m = 10^{18} M_b/M_\theta^{[2]} \quad (8e)$$

Jacob Bekinstein 指出, 在理想的条件下, 即恒星塌缩前后熵不变的条件即得到一个恒星级黑洞的最小(下限)质量(m_{om})^[2].

$$\text{从 (8e), } m_{om} = M_\theta/10^{18} = 2 \times 10^{33}/10^{18} = 2 \times 10^{15} \text{g}, \quad (8f)$$

可见, m_{om} 与 m_{bm} 又是同一级别黑洞。这足以证明本文所用的公式和推导与 Jacob Bekinstein 是殊途同归。于是,

$$m_{bm} (0.426 \times 10^{15} \text{g}) \approx m_{bo} (0.756 \times 10^{15} \text{g}) \approx m_{om} (2 \times 10^{15} \text{g}) \quad (8g)$$

以下将讨论 m_{bo} 和 m_{om} 能否存在于现今宇宙中。

当 $m_{bo} \geq 0.756 \times 10^{15} \text{g}$ 时, 相应地, m_{bo} 的

$$R_{bo} \geq 1.12 \times 10^{-13} \text{cm}, \rho_{bo} \leq 0.1285 \times 10^{54} \text{g/cm}^3, T_{bo} \leq 10^{12} \text{k}. \quad (8h)$$

从本文的下篇^[18]可以查出或计算出, 当宇宙的密度 $= \rho_{bo} \leq 0.1285 \times 10^{54} \text{g/cm}^3$ 时, 宇宙的特征时间 t_{up} 是,

$$t_{up} = (3/8\pi \rho_{bo} G)^{1/2} = 0.37 \times 10^{-23} \text{s} \quad (8i)$$

从宇宙大爆炸后的宇宙演变膨胀图可知^[18], $t_{up} = 0.37 \times 10^{-23} \text{s}$ 是处于宇宙的重子时代, 即 Hadron Era, 此时单个的强子不能存在, 宇宙中大部分的物质形态是浓密的夸克和胶子的混合物, 又称为夸克时代。^{[2] [18]}这就是说, 此时的无数的质量为 m_{bo} 的原初宇宙小黑洞是紧密地均匀地在当时宇宙内挤在一起的, 随着时间的增加, 许多小黑洞 m_{bo} 就会碰撞和合并而变成更大的黑洞, 因此, 在宇宙密度当时高达 10^{54}g/cm^3 的状态下, 是不可能原初宇宙小黑洞 m_{bo} 既不吞噬其外围的能量-物质又不与其邻近的小黑洞合并而孤立的残存到现今的宇宙空间的。推而广之, 宇宙

膨胀到辐射时代 (Radiation Era) 结束之前^[18], 此时宇宙的密度虽然已降低到 $\approx 10^{-20} \text{g/cm}^3$, 即在大爆炸后的 30~40 万年之前, 但那时宇宙并不透明, 仍然处在辐射为主要的时代。宇宙由于原生的最小黑洞 $M_{\text{bm}} \approx 10^{-5} \text{g}$ 的合并仍然在不断地膨胀着, 但在每一时刻, 微波背景辐射的观测证实那时温度的差异仍然很小, 也就是说, 宇宙还是几乎近于热平衡状态。因此, 其内部密度在每一时刻都是相当均匀的, 不可能在以后密度降到远低于 10^{54}g/cm^3 的密度状态下又塌缩出 m_{bo} 如此小的质量和如此高密度的原初宇宙小黑洞。

在宇宙膨胀到物质占统治地位的时代, 即 Matter-dominated Era, 即在大爆炸 30~40 万年之后直到现在^[18], 宇宙的能量-物质密度从 $\approx 10^{-20} \text{g/cm}^3$ 已经降低到现在的 10^{-30}g/cm^3 。只有在物质形成后, 由于辐射能量与物质粒子能量之间的巨大差异而不能互换, 才在宇宙的小范围内(1~3 亿光年内)造成物质密度的极大不均匀。因而才出现星云星系和恒星, 恒星只能在死亡后通过新星或者超新星的爆炸, 其残骸才能塌缩成为如前所述的质量大约为 10^{33}g 的恒星级黑洞, 而不可能爆炸和塌缩出来质量 $\approx 10^{15} \text{g}$ 的原初宇宙小黑洞 m_{bo} , 因为其爆炸压力和温度都达不到 m_{bo} 所需要的条件。 m_{bo} 的热压力 P_{bo} 可估算如下:

$$P_{\text{bo}} = \rho_{\text{bo}} k T_{\text{bo}} / m_p = 0.1285 \times 10^{54} \times 1.38 \times 10^{-16} \times 10^{12} / 1.67 \times 10^{-24} \approx 10^{67} \text{atm} \quad (8j)$$

上面提到, Bekenstein 曾指出, 如令恒星塌缩前后的熵不变, 即令 $S_b/S_m = 1$, 则得到一个最小的恒星级黑洞最小(下限)质量(m_{om})^[2]。但是, 由 (8e) 式可知, 恒星没有可能在塌缩为黑洞前后保持熵不变。只有整个塌缩过程是极其缓慢的理想绝热过程才能保持熵不变。恒星的塌缩过程可以分为两步: 1. 从恒星的死亡爆炸到塌缩成为恒星级黑洞 $\approx 3M_{\odot}$, 这个过程是一个恒星死亡后的激烈和迅速的爆炸和塌缩的过程, 总的来说, 完全是一个从有序到无序的熵大大的增加的过程。也许变成恒星级黑洞的余烬 M_r 的有序性有所增加, 即熵有所减少, 但是 M_r 只占总体的一小部分, 所以 $S_b/S_m \neq 1 \gg 1$ 。 2. 从恒星级黑洞的质量大约为 $6 \times 10^{33} \text{g}$ ($3M_{\odot}$) 塌缩到 $\approx 2 \times 10^{15} \text{g}$ 的微小黑洞。假设这个过程能够出现的话, 它就是一个从低温低密度向高温高密度收缩转变的过程, 如果没有外部能量的供给和极高的压力, 这个转变不可能完成, 但是, 如前所述, 黑洞在吞噬外界能量-物质时不是收缩反而是膨胀。因此, 黑洞的收缩只能是如前所述的完全靠自己向外发射霍金量子辐射, 因此, 从大质量恒星级黑洞收缩到微型黑洞(m_{om})所需的时间是 = 恒星级黑洞的寿命-微型黑洞的寿命 $\approx (10^{66} \text{年} - 10^{11} \text{年})$ 。而这个过程也完全不是理想的等熵过程, 因为收缩的结果是向外发射了大量的无序的霍金量子辐射, 黑洞只是由一个质量 $6 \times 10^{33} \text{g}$ 恒星级黑洞缩小成 $2 \times 10^{15} \text{g}$ 的唯一一个微型黑洞, 而不是收缩成为与原来黑洞等量又等熵的 N_{min} ($N_{\text{min}} = 6 \times 10^{33} / 2 \times 10^{15} = 3 \times 10^{18}$) 个 m_{bo} 微型黑洞。虽然最后一个仅存的 $2 \times 10^{15} \text{g}$ 的微型黑洞的熵有所增加, 但它只是原先总体质量的 $1/N_{\text{min}}$, 因此, 其塌缩前后的熵比 $S_b/S_m \neq 1 \gg 1$ 。

结论: 根据 1989 年发射的 COBE 卫星测量结果进行分析计算后发现, 宇宙微波背景辐射与绝对温度 2.7 度黑体辐射非常吻合, 另外微波背景辐射在不同方向上温度有着极其微小的差异, 也就是说存在的各向异性非常小, 因而在宇宙的辐射时代结束之前不可能使在宇宙早期所产生原初宇宙小黑洞 m_{bo} 孤独地保持到现在。而在宇宙的辐射时代之后一直到现在, 即是物质占统治地位的时代, 在此期

间，只能产生恒星级黑洞，如果由恒星级黑洞以霍金辐射收缩成为原初宇宙小黑洞 m_{b0} ，需要再经过大约 10^{65} 年之后才会出现。

IX. ($10^7 \sim 10^{12}$) M_0 超级大黑洞与类星体 (Quasar)

在每个星系的中心都有一个超级大黑洞，其质量约为 ($10^7 \sim 10^{12}$) M_0 不等。最近“美国斯坦福大学的天文学研究小组在遥远的宇宙中发现了被称为 Q0906+6930 的黑洞。到目前为止堪称最庞大最古老的黑洞。其质量是太阳质量的 100 多亿倍，形成时间在 127 亿年前，即在宇宙的大爆炸之后大约 10 亿年”^[14]。

设上述黑洞质量 $M_q = 10^{10} M_0 = 2 \times 10^{43} \text{g}$ ，则其 $R_q = 2.96 \times 10^{15} \text{cm}$ ， $\rho_q = 1.74 \times 10^{-4} \text{g/cm}^3$ 。

而宇宙 10 亿年时的平均密度 $\rho_{10} = 3/(8\pi G t^2) = 1.8 \times 10^{-24} \text{g/cm}^3$ 。

再看中子星和恒星级黑洞的平均密度 $\approx (10^{14} \sim 10^{16}) \text{g/cm}^3$ ，

“2008-09-05 报道，天文学家首次清晰观测到银河系中心黑洞”，该黑洞的史瓦西半径 $R_y = 1609$ 万公里，即 $R_y = 1.6 \times 10^{12} \text{cm}$ ，其质量 $M_y \approx 10^{6.5} M_0$ ，平均密度 $\rho_y = 3 \times 10^2 \text{g/cm}^3$ 。

分析与推论：1. 从上面的密度比较和分析后可见，质量愈大的超级黑洞，其密度愈小，可能愈易于从该超巨大星系的原始星云中直接收缩而成。所以在宇宙物质占统治时代的早期，在密度较大的状态下，较易形成超级大黑洞，即类星体。**2.** 超级黑洞外的剩余能量-物质愈多，则黑洞因吞噬能量-物质而向宇宙空间发射的辐射能量也愈多。在宇宙空间也就愈亮。银河系中心的超级黑洞外围的能量-物质较少，所以也较暗。**3.** 这些超级黑洞是否由其原始大星云在中心先塌缩成许多恒星级黑洞和致密天体，然后由他们碰撞合并而成呢？这种可能性不大。因大量致密天体被黑洞所吞噬而形成上述如此大的超级黑洞需要很长的时间，特别是恒星级黑洞是需要花费数亿到百亿年的时间完成核聚变之后才能形成的。因此，超级黑洞的这种形成方式的可能性很小。也许小星系中心或者大星系中心外形成的 $10^5 M_0$ 的中型大黑洞可能由这种方式形成。**4.** 由此可见，应该是先有行星状星云的星系，然后收缩成为各种星体各种黑洞和超级黑洞，而不可能先有黑洞再吸引宇宙空间的能量-物质形成行星状星系。

什么是类星体？类星体其实就是遥远的超级黑洞，也是上述超级黑洞的婴儿和青少年时期。现简单介绍何香涛教授在其“观测宇宙学”^[3]中第 8 章的证明如下：

类星体的质量 M_Q 应该满足，

$$M_Q > L_Q M_0 / 1.5 \times 10^{38} = 3.3 \times 10^8 M_0 \quad (9a)$$

对于光变周期为 1 小时的类星体，其尺度 D 应该满足

$$D \leq C \Delta t = 1.1 \times 10^{14} \text{cm}, \quad (9B)$$

对于如此大小的一个史瓦西黑洞，其质量 M_S 应该是，

$$M_S = RC^2 / 2G = 1.9 \times 10^8 M_0 \quad (9C)$$

可见， $M_Q \approx M_S$ ，二者是极其接近的。(9a)式中之 $L_Q = 5 \times 10^{46} \text{erg/s}$ 。

X. 对上述史瓦西黑洞的论证再作进一步的分析和结论如下：

A. “两位英国学者，剑桥大学的史蒂芬·霍金和发明保角图的罗杰·彭罗斯在 60 年代证明，“奇点”是广义相对论的一个必不可少的组成部分。一个真实恒星的引力坍缩是否一定导致视界和黑洞的形成对此尚不明确，但是坍缩的结局是不可避免

地成为奇点，这是确定无疑”。这是“黑洞”一书作者约翰-皮尔·卢米涅在1995年写的。^[1]按照广义相对论，任何一个黑洞将由三部分组成。第一，视界为其边界。第二，奇点在 $R=0$ 的几何中心，在那里集中有无穷大的能量密度，时空弯曲成无穷大。第三，在视界与“奇点”之间的空间为真空。这表示奇点成为黑洞存在的前提，广义相对论还指出，由于空间与时间在黑洞内互换，其中心 $R=0$ 的点成为时间的终结，以后就成为“时间之外”。^{[1][6]}

广义相对论对“时间之外”无法解释。仅仅按照单独的广义相对论的数学方程的极端状态得出的上述解释是不适宜于研究黑洞内部状况的。我们所熟知的物理定律失效的奇点^[5]只是广义相对论的数学推导的极端结果，而不是真实的物理世界的图像。何况，广义相对论没有考虑温度和热压力如影随形地对引力的抗拒作用，没有考虑量子理论，它不能应用于普朗克量子领域。而“奇点”作为能量与密度为无限大的点，它不可能在真实的物理世界出现和存在。任何理论的数学方程都有其应用的极限，广义相对论也不例外。因为数学方程的连续性通常不大可能统一地描述物态之间的极端（极限）--相变及相变处的临界点。正如气体状态方程不能用于水的沸点一样，在自然界既能找到长期存在的黑洞实体，就应当应用其它的观念或机理以代替用单独的广义相对论对黑洞内部无能为力解释的“奇点”。既然黑洞以被观测和证实为宇宙中长期存在的物质实体，那么，其内部必然存在着对抗引力塌缩的机制以维持其平衡和稳定。

B. 本文前面是用4种不同经典理论的基本公式来解决黑洞内部没有奇点的问题，即用经典的热力学公式(1a) $dP/dR = -GM\rho/R^2$ 为基本，以史瓦西对广义相对论的特解公式(1c) $R_b = 2GM_b/C^2$ 作为黑洞存在的必要条件，以热状态方程(1b) $P = nkT = \rho\kappa T/m_s$ 和以霍金的黑洞量子辐射公式(1d) $T_b = (C^3/4GM_b) \times (h/2\pi\kappa)$ 作为边界的补充条件，求出了黑洞视界半径 R_b 上一组能普遍应用于所有黑洞守恒公式(2ca), (2cb) 等，和修正后的重要公式如(4d), $R_{m_{ss}} = h/(4\pi C) = 0.176 \times 10^{-37} \text{cm}$, 和(4e), $m_{ss}M = hC/8\pi G = 1.187 \times 10^{-10} \text{g}^2$ 。必须特别着重指出，所有这些守恒公式仅仅实用于黑洞视界半径 R_b 上。至于黑洞内部各点的状态特别是各点的温度 T 的状态与上述守恒公式无关，也不影响上述守恒公式。而 T_b 仅仅表示黑洞视界半径 R_b 上的霍金辐射量子的阈温。如果大黑洞内部有黑洞，则该小黑洞视界半径 R_b 上也适用这组守恒公式，而在黑洞内部的非黑洞区域的状态，只有公式(1a) 和 (1b) 可以使用，而必须再补充其它的边界的补充条件才能解出公式(1a)。

C. 由前面的论证可见，黑洞视界半径 R_b 的界面上实际上是黑洞能量位阶的最低界面。黑洞界面内外的能量-物质粒子只有通过界面才能交换和进出。界面内附近的粒子能量只有达 R_b 的位阶，即其小于或等于阈值 $m_{ss} \leq \kappa T_{om}/C^2$ 时才可能逃出黑洞。同样，界面外附近的粒子能量只有达 R_b 的位阶，即其大于或等于阈值 $m_{ss} \geq \kappa T_b/C^2$ 时才可能被吸入黑洞。黑洞界面 R_b 上不停地能量-物质交换使得 R_b 上不停地震荡—扩大或者缩小。当黑洞因不断地发射霍金量子辐射而内部空间一直缩小下去时，内部的能量物质也就一直不停地通过 R_b 向外辐射而后使 R_b 逐渐缩小，这就完全证明黑洞内部空间充满能量-物质，而在 R_b 逐渐缩小时能随时供给能量-物质，从而证实其内部空间绝对不是真空。因此，广义相对论所得出“黑洞内部除了奇点之外，所有空间都是真空”的结论是不符合黑洞的真实状况的。广义相对

论数学方程的极端处是不能用于真实的物理世界的，正如牛顿力学不能用于接近光速运动的物体一样。

D. 恒星在死亡时的塌缩大爆炸中，恒星将抛射掉自己大部分的质量，同时释放出巨大的能量。这样，在短短几天内，它的光度有可能将增加几十万倍，这样的星叫“新星”。如果恒星的爆发再猛烈些，它的光度增加甚至能超过 1000 万倍，这样的恒星叫做“超新星”。这些剧烈的爆炸现在已能真实的被观测到。设想如果所有的黑洞内均出现过“奇点”，那么每个奇点爆炸的剧烈程度将会比超新星的爆炸不知要大多少倍，似乎都会像广义相对论所设想的宇宙诞生的“大爆炸”一样地剧烈。从广义相对论的理论上讲，也许黑洞外面的人不能观察到黑洞内奇点大爆炸的图景。但是“奇点”的爆炸必定会爆出来无法估量的能量-物质迫使其视界半径以光速不断地向外扩张。在我们银河系的中心区域有许多小黑洞和一个超级大黑洞，如果所有这些黑洞内都有“奇点”而爆炸的话，那么，距离银河系中心仅仅 2.6 万光年的太阳系早就被这些扩张的黑洞所吞噬了。因此，我们银河系内及外围空间许多被观测到的黑洞的长期真实地存在就证明所有黑洞内没有出现和存在过“奇点”和“奇点的爆炸”。也证明了我们的太阳系不在银河系的某个黑洞之内。可见，用广义相对论数学方程的极端处存在“奇点”以证明真实的黑洞内存在“奇点”是一种错误的推论和结论，正如用经典力学证明电子会失去能量而坠落到原子核中的错误是一样的。

E. 在前面第 VI 节中已经证明所有黑洞的最后命运不是收缩成为奇点，而是收缩成为质量 $M_{bm} \approx 10^{-5}g$ 的最小引力黑洞在普朗克领域中强烈的爆炸消亡。既然所有黑洞的最后命运是如此，假设黑洞内部有可能发生这种极其强烈的引力收缩时，也必然而且只能是最后收缩成为质量 $M_{bm} \approx 10^{-5}g$ 的最小引力黑洞而在黑洞内部强烈的爆炸中消失后，其残渣就混入黑洞内的空间与能量-物质中。而实际上恒星级黑洞或者有中子星所塌缩成的恒星级黑洞是不可能发生这种情况的。前面已经说过，现在宇宙中由新星和超新星爆炸所形成的恒星级黑洞或者有中子星所塌缩成的恒星级黑洞的质量大约是 $3.8 \sim 15 M_{\odot}$ 。这种黑洞形成后，由于其霍金辐射的能量极其微小，其寿命按照公式 (6b) 将达到大约 $10^{65} \sim 10^{70}$ 年，这就是说，在视界半径 R_b 的界面上，黑洞内部的热压力几乎完全能够对抗和平衡其引力的塌缩，内部核心超子（所谓超子其实就是具有高能量和高温度的中子和质子）之间的斥力（泡利不相容原理的作用）能更强力地对抗外层物质的引力塌缩成为小黑洞，因而只可能在其中心存在一个较密实的超子核心，而内部空间则充满密实的能量-物质，其中密度由中心向外是连续降低的。这也就是说，恒星级黑洞一旦形成之后，其内部不可能再继续塌缩出更小的黑洞，因为塌缩出更小的黑洞需要更高得多的压力，而恒星级黑洞内已无再产生核聚变的可能。假如万一有更小的黑洞出现，它也只能会吞噬其外围的能量-物质而扩大其视界半径直到与原黑洞的半径合而为一。

F. 再从另一个角度来看，“所有黑洞的最后命运不是收缩成为奇点，而是收缩成为质量 $M_{bm} \approx 10^{-5}g$ 的最小引力黑洞在强烈的爆炸中消亡”。从公式(1d)看，黑洞 M_b 在其视界半径 R_b 上的阀温 T_b 的黑洞守恒公式如下：

$$T_b = (C^3/4GM_b) \times (h/2\pi\kappa) \approx 0.4 \times 10^{-6} M_{\odot} / M_b \approx 10^{27} / M_b \quad (1d)$$

从公式(1d)看，当 M_b 质量在 $10^{-x}g$ 以下收缩（缩小）时， T_b 的绝对值增加的很大，很显然，在自然界，阀温 T_b 不可能增加到无限大，而使 $m_{ss} (= \kappa T_b / C^2)$ 也增加到

无限大。同时，黑洞也必须遵循热力学第三定律，此定律可表述为：在通常的热力学系统中，不能通过有限次操作，把系统的温度降低到绝对零度或升高到无穷大。因此，黑洞质量 M_b 就不可能收缩到无穷小的奇点。这样，当黑洞收缩时， T_b 就存在一个最大值， M_b 就相对地存在一个最小值，从而只能收缩到 $M_b = M_{bm} \approx 10^{-5}g$ 为止。因此，相对应地粒子的尺度 R_b 也不可能收缩成无限小，而只能到 $R_b \approx 10^{33}cm$ 为止。密度也只能增加 $\rho_{bm} \approx 6.4 \times 10^{92}g/cm^3$ 为止，而不是无限大。再从(6f)式可知。每个黑洞收缩到 $M_{bm} \approx 10^{-5}g$ 时，就达到了Planck Era,因而只有在 $10^{32}k$ 的宇宙最高温度下爆炸解体消亡。

$$m_{ss}M = hC/8\pi G = 1.187 \times 10^{-10}g^2. \quad (4e)$$

再看(4e)式，对于任何一个黑洞而言， $m_{ss} \leq \kappa T_b / C^2$ 。而 $M \geq \kappa T_b / C^2$ ，只有当黑洞收缩到成为最后两个粒子时，就达到一个极限，即(6a)式，

$$M = m_{ss} = 1.058 \times 10^{-5}g, \quad (6a)$$

这是黑洞的最后一次发射霍金辐射粒子 $m_{ss} = M$ 。这也是真正地一分为二，一个最后的黑洞粒子分裂成为 2 个相等的辐射能量子，而后在相同的最高温度下爆炸消亡。所以最后的一次发射霍金辐射粒子 m_{ss} 的能量成为：

$$M C^2 = m_{ss} C^2 = \kappa T_b = 10^{16} g \cdot cm^2/s^2 = 10^{19} GeV \quad (10a)$$

其实，如果令 T_b 为黑洞 M_b 在其视界半径 R_b 上的阀温，即 $T_b = m_{ss}C^2/\kappa$, (1d) 式可直接变为(4e)式，即， $m_{ss}M = hC/8\pi G$ 。这再一次证明了本文前面对黑洞守恒公式的推演和结论都完全是正确的，符合量子力学和霍金黑洞理论等各种经典理论而圆满自洽的。所以，宇宙中事物之间的道理是一通百通的。但是，如果直接如上所述由 (1d) 式得出(4e)式，我们就不知道 m_{ss} 在黑洞 M_b 的视界半径 R_b 上处于热动力的平衡状态，这样就难以理解 m_{ss} 如何作为黑洞的霍金辐射在起作用，也难以从黑洞守恒公式收缩演变的观点分析黑洞的内部状况和收缩到最后成为 $M = m_{ss} = 1.058 \times 10^{-5}g$ 而消失。

G. 前面的分析和论证表明，用单独的广义相对论无法解决黑洞内部的奇点问题。直到现在,尚未有一个单独的理论能描述黑洞内部。在本质上，广义相对论是一个无热力学效应而以四维时空代替引力作用的时空几何学。因而，在用单一的广义相对论方程式描述黑洞内部时，没有热力作为对抗力，均匀的能量-物质空间的引力的塌缩(即时空收缩)也就必然会产生“奇点”。Tolman-Oppenheimer-Volkoff [7]方程已将热力学效应，粒子的熵和物质的结构效应作为修正项用以解决公式 (1a) [7]，但因 TOV 方程太复杂而又无某种确定的规范作为边界条件用于黑洞内部。更主要的是，在 40 年代，霍金的黑洞辐射理论尚未出现，所以，至今无人将 TOV 方程用于黑洞内部而又解决问题。本文用简化的公式(1a) $[dP/dR = -GM\rho/R^2]$ 以代替复杂的 TOV 方程。而用霍金黑洞理论中的温度公式于黑洞作为边界条件。因此，找出了一个简化的特殊解，即黑洞视界半径 R_b 上的几个守恒公式，即 (2c)， $R = 3h/(2\pi C m_s)$ ，和其修正公式(4d)， $R m_{ss} = h/(4\pi C) = 0.176 \times 10^{-37} cmg$ 。这是联合运用广义相对论(或牛顿力学)和黑洞理论以及热力学的公式结果。如果没有黑洞理论，公式(4d)的这一特殊解就找不出来。因此，如果没有霍金的黑洞理论，就不可能找到在黑洞视界半径 R_b 上的这些守恒公式，而正是这些守恒公式的存在才阻止了恒星级史瓦西黑洞内部的能量-物质塌缩成为奇点而使黑洞能以极长期的寿命而真实地存在于宇宙中。也正因有了霍金的黑洞理论，才有可能知道任何黑洞的寿命，才了解黑洞内部

与外界的能量是如何交换的。结果，黑洞从过去存在于自然界的死而不化的物体变成现在活的物体。可见，本文中运用霍金理论的公式才避免了广义相对论对“奇点”问题的危机。同样的情况其实早已发生过，正如原子中的电子必需依从量子力学的测不准原理才不致落到原子核内，而稳定在原子核的外层运动。这才使得我们人类能出现和存在于现今美妙的世界里。

H. 黑洞视界半径上的参数的单一性和唯一性：黑洞的所有物理状态参数 ($M_b, T_b, R_b, \rho_b, \tau_b, \dots$) 中, 只要有一个被确定, 比如说 M_b 被确定, 其它的所有参数都随着 M_b 的被确定而被唯一的确定了. 从这个观点来看, 黑洞又是自然界最简单的物体. 这也就是说, 同一个参数值的所有黑洞, 在其视界半径 R_b 上的各种参数值是完全一样的。但其内部的状态可以不相同, 黑洞愈大, 其内部的状态的差异也就愈大愈复杂。反之, 所有的 $M_{bm} \approx 10^{-5}g$ 的最小引力黑洞都只是由一个粒子组成, 而各种参数都一样, 因此, 只有所有的 $M_{bm} \approx 10^{-5}g$ 的最小引力黑洞内部状态才都是一样的, 而达到这一状态时即爆炸解体消失于普朗克量子领域。

I. 从第 III 节可知, 黑洞只有从外部吸取能量物质或与其它星体或黑洞碰撞才会膨胀增大尺寸, 而不停地向外所辐射的能量却极微, 1998 年由遥远的 Ia 型超新星的爆发而发现宇宙早期直到现在的加速膨胀。现在主流的科学学家们都认为在宇宙早期出现了具有负能量或者排斥力的暗能量造成了宇宙加速膨胀, 现在不少的科学家正努力想找到暗能量以求得到诺贝尔奖。作者曾指出, 由遥远的 Ia 型超新星的爆发而发现宇宙早期的加速膨胀是我们这个宇宙大黑洞在早期与另外一个宇宙大黑洞碰撞与合并所造成的结果。^[4]而这种合并似乎到现在尚未完全完成。因为合并一旦完成, 两大黑洞的质量就会相加而成为新黑洞的质量, 两个原来黑洞的视界半径就会相加而成为新黑洞的视界半径。这样, 新黑洞因无外界能量物质可以吞噬而会停止膨胀。作者的上述解释是合乎宇宙的观测实况的。因为只有两个宇宙黑洞在其早期碰撞而产生宇宙加速膨胀的上述解释才符合我们宇宙的平直性要求和当今较准确的观测值 ($\Omega=1.02\pm 0.02$)。有排斥力的暗能量和所有其它理论都可能成为找不到的幽灵, 因为它们都不符合此要求, 解释不了我们宇宙的平直性^[4]。

J. 两种不同的黑洞模式和两种不同的黑洞命运。

按照单独的广义相对论, 黑洞中心有一个奇点, 在视界半径与奇点之间的内部空间是真空。黑洞永远不向外辐射任何能量-物质, 在这样的条件下, 黑洞将永远地存在于自然界。这类黑洞会从外界吸收能量-物质或其它天体而增加自己的质量和尺寸, 但它永远是一个绝对的黑洞而不会消失, 因此, 在自然界已存在的黑洞和未来将出现的黑洞每一个都会有无限长的生命。这种可能性能存在吗? 它符合自然的根本规律吗? 有许多确凿的证据已经证实我们宇宙就是一个巨无霸黑洞。^[4]^[18]作者在本文的下篇已经作了有力的证明。^[18]在宇宙黑洞内, 各种物质物体和人类的存在证明宇宙空间并不是真空, 也没有观测到存在“奇点”的任何证据。而那些抱着广义相对论方程的极端的奇点结论不放的科学家们, 其实也说不清奇点究竟奇到什么程度。这是即不合理性也不符合宇宙的实际状况的。本文另开思路, 独创地综合运用几种经典理论的基本公式, 特别是应用霍金的黑洞辐射量子蒸发能量的公式, 证明每个黑洞与宇宙中其它任何物体或者系统一样, 都存在着对抗引力塌缩的机制, 都合乎生长衰亡的法则, 都是一个总熵增加的不可逆过程。在这种模式的大黑洞内部, 各处和区域依据其不同的动静平衡条件而可以组成极不相同

物体和系统。比如，在我们这个宇宙大黑洞内部，就可以在不同的地方存在着大小黑洞，恒星，行星，生物，人类和宇宙尘埃等等。但是，可以明确地定论，我们宇宙任何地方绝对不可能出现高于 10^{32}k 的高温，也绝对不可能出现小于 10^{-5}g 的黑洞，永远不会找到“奇点”或者“奇点的大爆炸”。

K. 关于人造黑洞：作者两年多前曾经论证过人类也许永远制造不出来任何大小的人造黑洞。请参看拙作“Mankind may be impossible to manufacture out any artificial real gravitational black holes forever”^[16]。其实道理很简单明白，因为要想以小于 10^{19}GeV 的能量制造出来小于 10^{-5}g 的史瓦西黑洞，必然的，其相对应的温度 $>10^{32}\text{k}$ ，视界半径 $<10^{-33}\text{cm}$ ，寿命 $<10^{-43}\text{s}$ 。这是不可能达到的。而且这种 $<10^{-5}\text{g}$ 的史瓦西黑洞已经深入到 Planck Era 的量子时代，在这种量子时代，而由广义相对论所得出的黑洞的概念和理论还能够存在和适用吗？而要想制造出 $>10^{-5}\text{g}$ 的史瓦西黑洞，就要求能制造出来大于 10^{19}GeV 的能量，这是人类能达到的能量吗？

XI. 作者最后的几句话：

老子曰：“大道至简”。本文独创的观点和论证方法是简单的，是违反以广义相对论为主流的学术界的观点的，但却是稍能圆满自洽的，也会经得起观测的检验的。这也许不会受到大部分科学家与学者们或读者们的认可，因为本文缺乏新理论和复杂的数学公式，而这些东西都正是物理学界的主流学者们终身引以为骄傲的。但本文中的新的观念，新的论证方法与计算都来源于现代可靠的经典理论的基本原理和公式并且和所有其它理论计算所得出的数据以及观测的数据相符合。而且容易被理解和接受。本文的重要贡献就是找出了所有黑洞的最后命运是塌缩分裂成为两个最小引力黑洞 $M_{\text{bm}} \approx 10^{-5}\text{g}$ 后而在普朗克领域强烈的爆炸中消亡。这是由于本文推导出了新的公式(4e)， $m_{\text{ss}} M = hC/8\pi G = 1.187 \times 10^{-10}\text{g}^2$ 和 (4d)， $Rm_{\text{ss}} = h/(4\pi C) = 0.176 \times 10^{-37}\text{cmg}$ ，而将视界半径 R 上的霍金量子辐射作为能量-物质粒子 m_{ss} ，而与其热动力和其引力的平衡联系起来。本文用简单的方法以解决复杂问题的思路也许可以作为引玉之抛砖供给未来者作另类思考。

====完====

参考文献：

- [1]. 约翰—皮尔卢考涅：“黑洞，”湖南科学技术出版社，2000
- [2]. 王永久：“黑洞物理学，”湖南科学技术出版社，2000，4
- [3]. 何香涛：“观测天文学，”科学出版社，2000，4
- [4]. 张洞生：对宇宙加速膨胀的最新解释:这是由于在宇宙早期所发生的宇宙黑洞间的碰撞所造成的
<http://www.sciencepub.net/academia/0101>。
<http://www.sciencepub.org/newyork/0102>
- [5]. 约翰. 格里宾：“大宇宙百科全书，”湖南出版社，2001，9
- [6]. 苏宜：“天文学新概论”，华中理工大学出版社，2000.
- [7]. 吴时敏：“广义相对论教程，”北京师范大学出版社，1998. 8

- [8]尼古拉·沙波什尼科夫： 期刊：《天体物理学杂志》 发布时间：2008-4-2
13:13:2
<http://www.sciencenet.cn/htmlpaper/2008421428593631704.html>
- [9]. 晚年的致密恒星阶段： www.yckjw.gov.cn 信息发布[2006-11-10 15:25:00]
- [10]. http://news.xinhuanet.com/tech/2008-05/29/content_8273876.htm
- [11], 英國教授稱銀河系可能有 20 多個黑洞
<http://popul.jqcq.com/big5/natural/2007-08/187918038.html>
- [12]. 天体物理学家找到解中子星内部结构的方法 <http://tech.163.com> 2004-09-16
07:18:48 来源: 网易科技报道
- [13]。致密星. <http://hometown.aol.com/lklstars8/15b.htm>
- [14]。天文学家发现迄今最大最古老黑洞, <http://tech.sina.com.cn/other/2004-06-30/0752381423.shtml>
- [15]。天文学家首次清晰观测到银河系中心黑洞(图) <http://www.enorth.com.cn>
2008-09-05 08:45
- [16]。Dongsheng Zhang: Mankind may be impossible to manufacture out any artificial
real gravitational black holes
forever". Nature and Science—0201.
<http://www.americanscience.org/journals/am-sci/0201>
- [17]。向义和：大学物理导论，下册 22.3.1，清华大学出版社 1999.7.
- [18]。张洞生：本文的下篇。对宇宙起源的新观念和新的完整论证：宇宙不可能诞生于奇点。